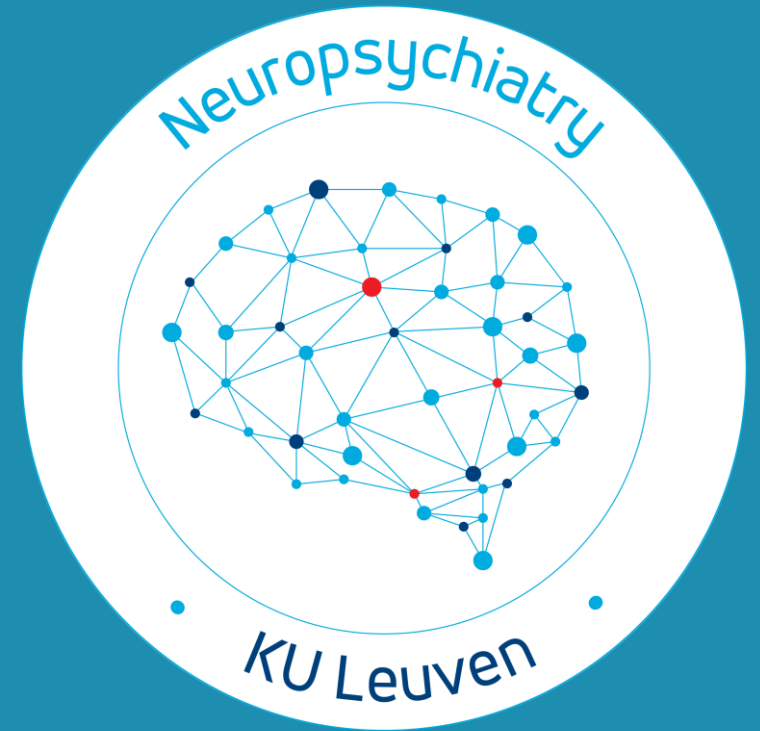


The Leuven Late-Life Depression Study



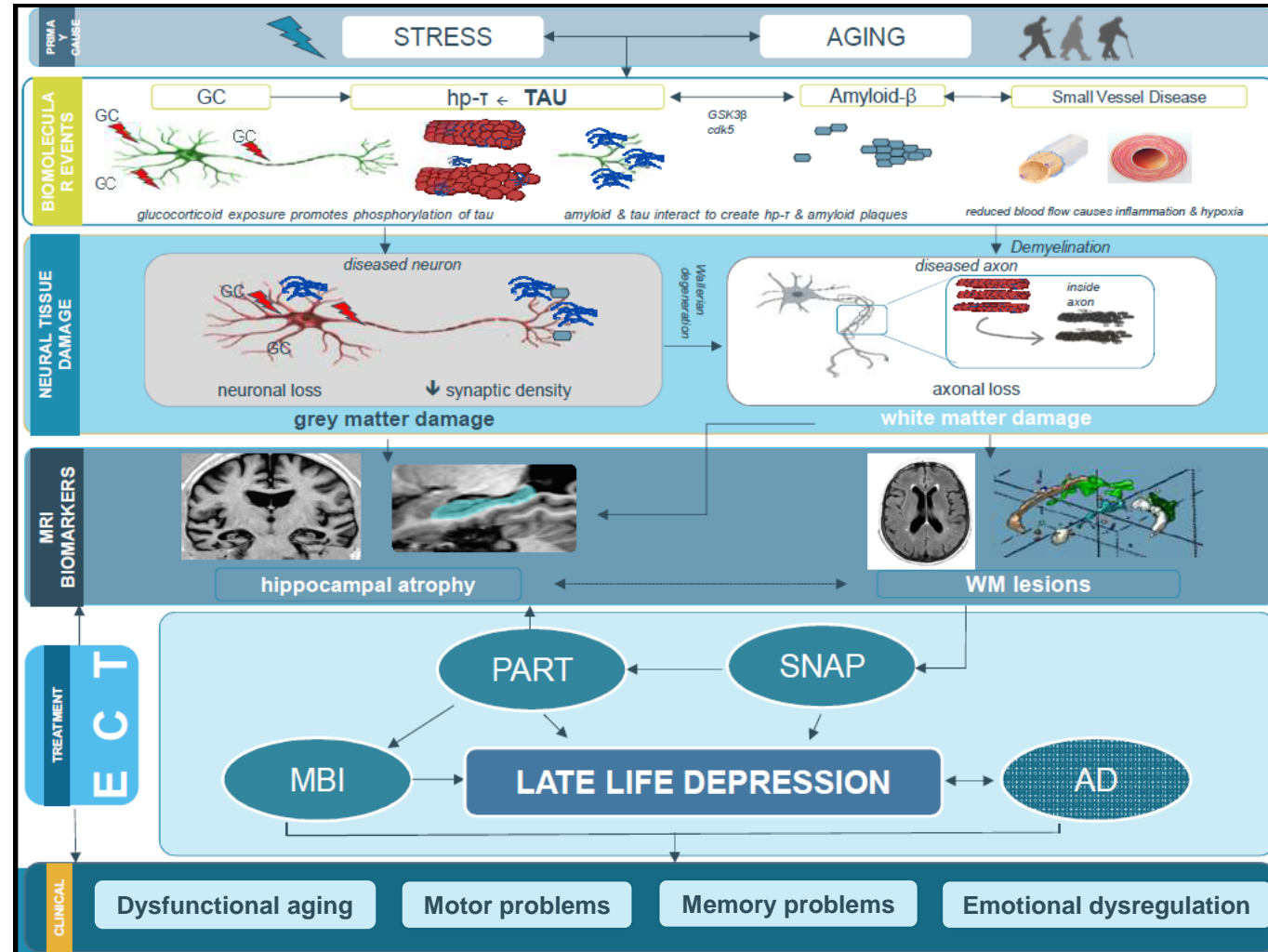
UPC KU Leuven Congres Ouderenpsychiatrie

Uit het oog uit het hart

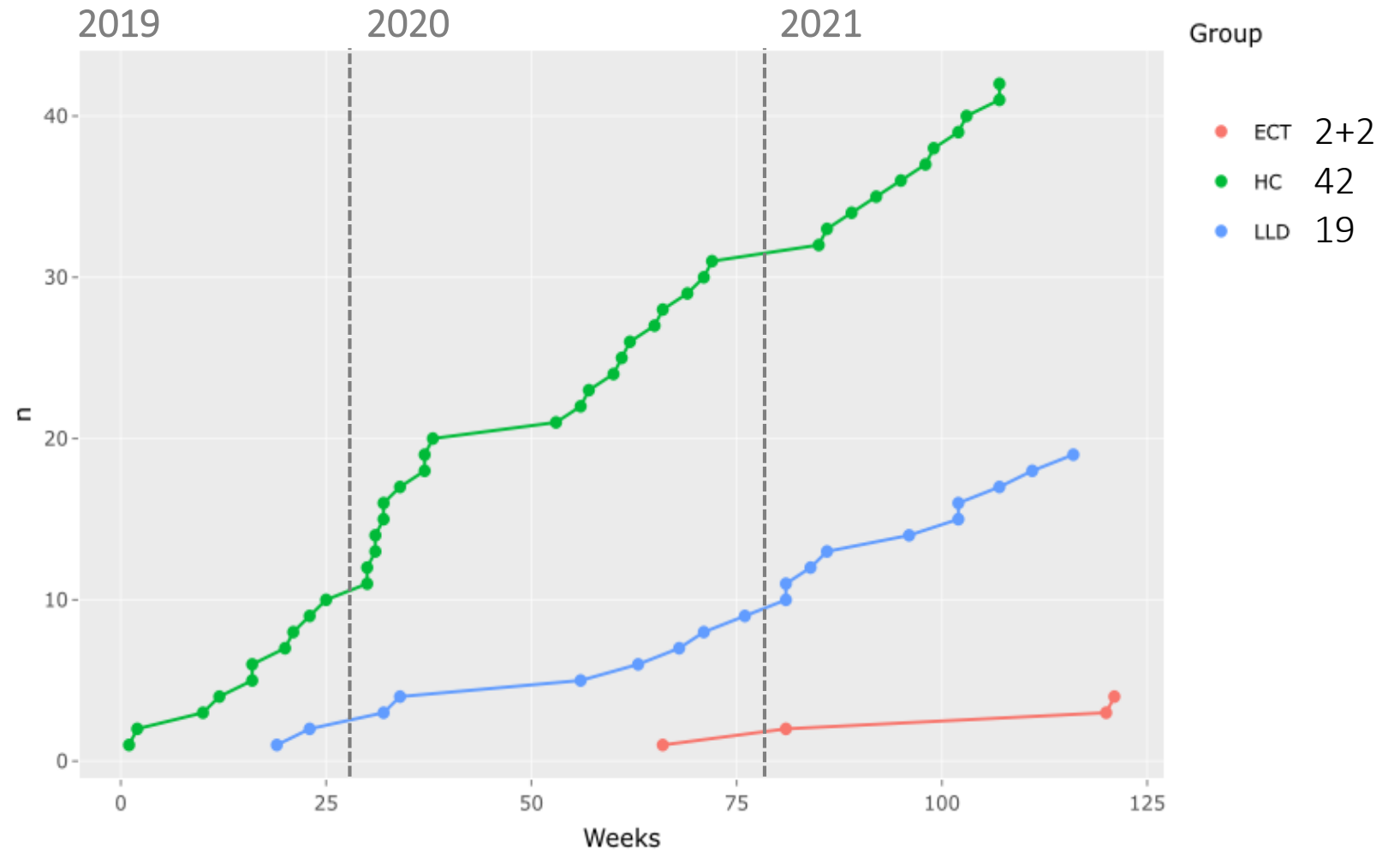
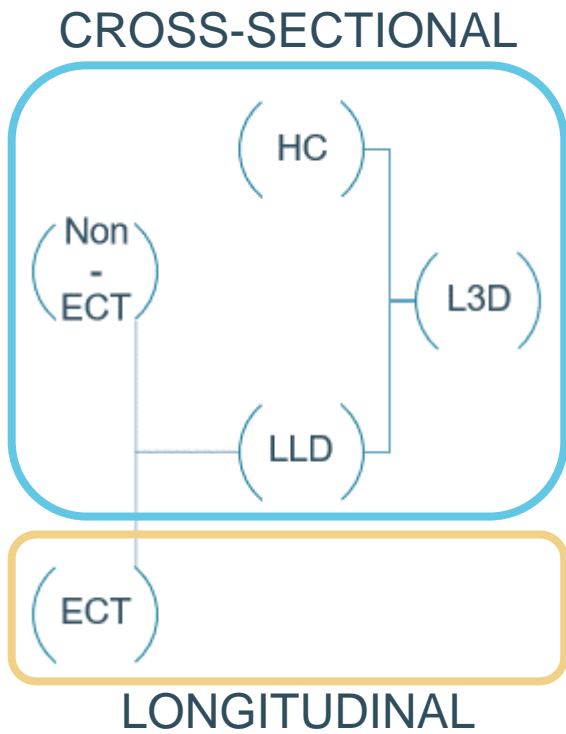
Over eenzaamheid en geestelijke gezondheid bij ouderen

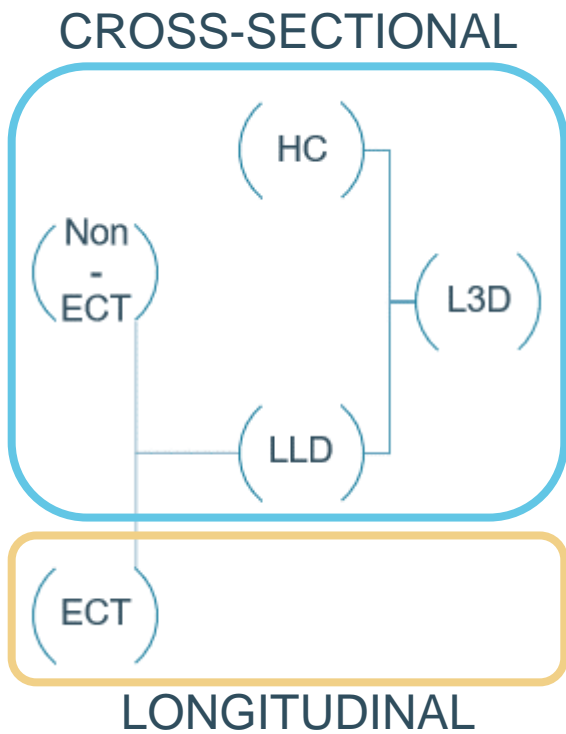
28 oktober 2021
Provinciehuis Leuven

The Leuven Late-Life Depression Study



Stand van zaken





KLINISCHE TESTING

PSY

NEU

COG

ESM

STRUCTURELE
BEELDVORMING

T1

T2

FLAIR

DTI

FUNCTIONELE
BEELDVORMING

TAU

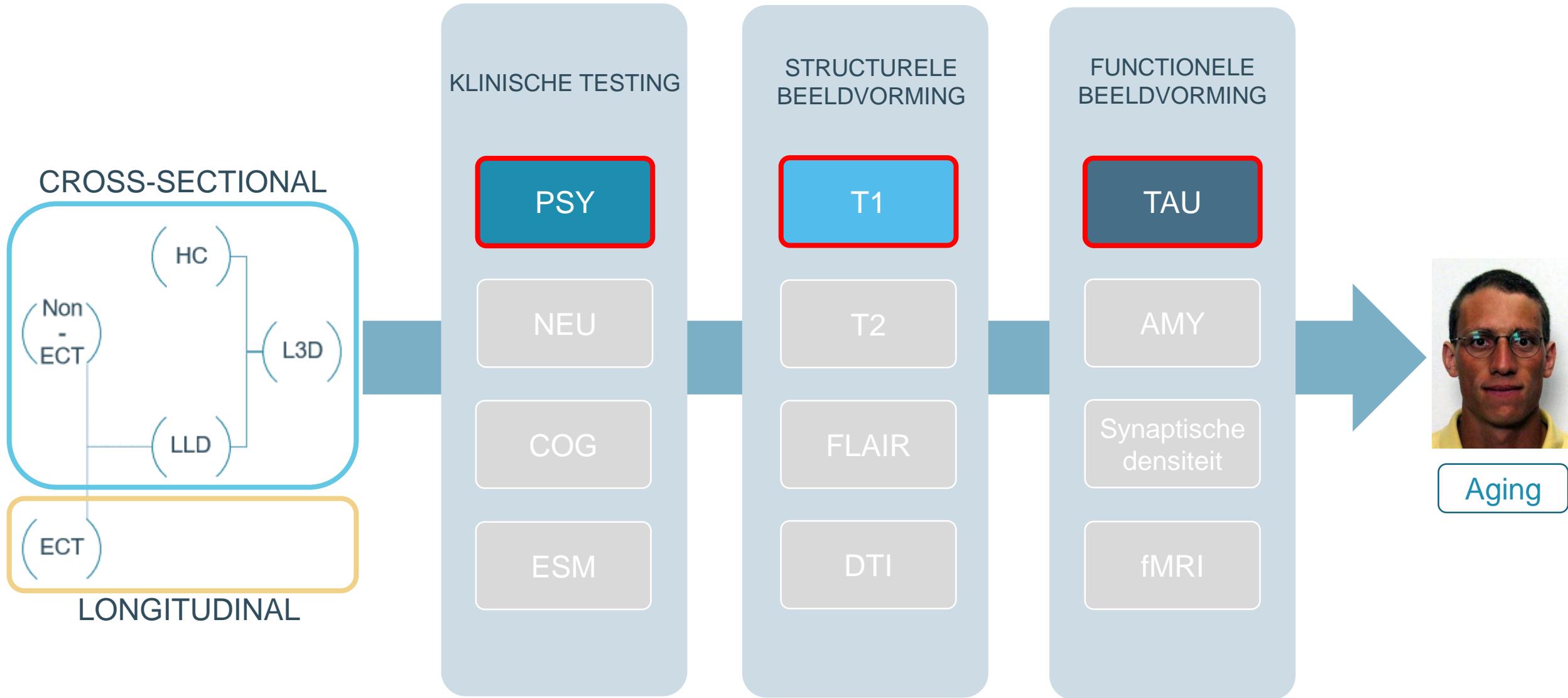
AMY

Synaptische
densiteit

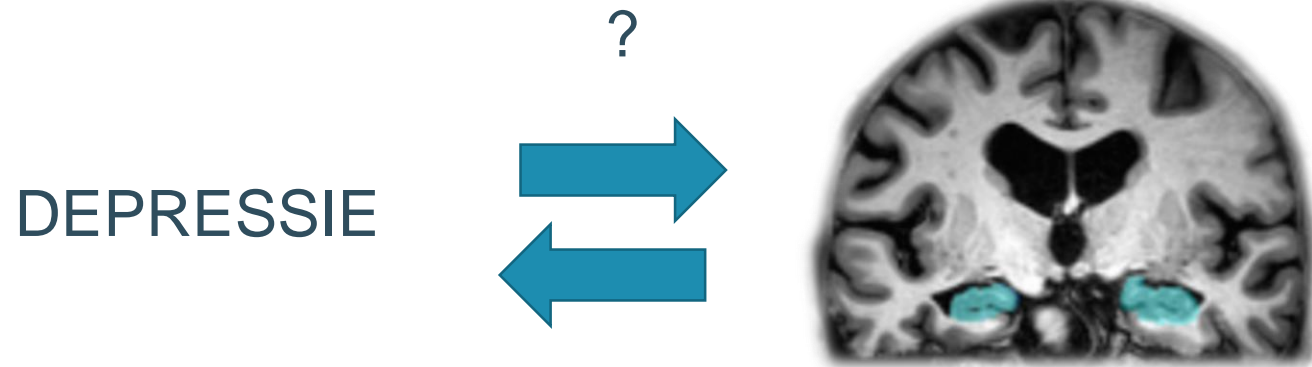
fMRI



Bevindingen over depressie en het verouderende brein via PET/MR beeldvorming



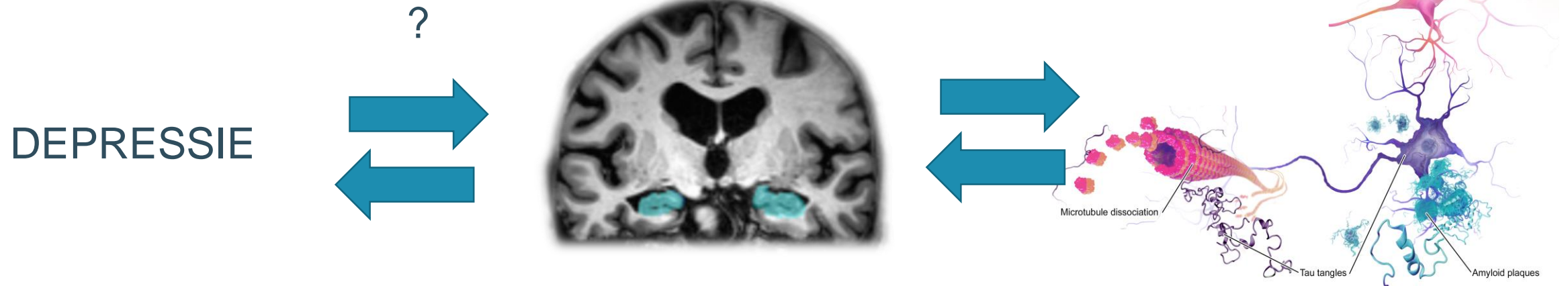
Depressie en het verouderende brein: intro



- Lower hippocampal volume
- Smaller amygdala
- Larger lateral ventricles

1. Han et al., Molecular Psychiatry 2020
2. Enigma study

Depressie en het verouderende brein: intro

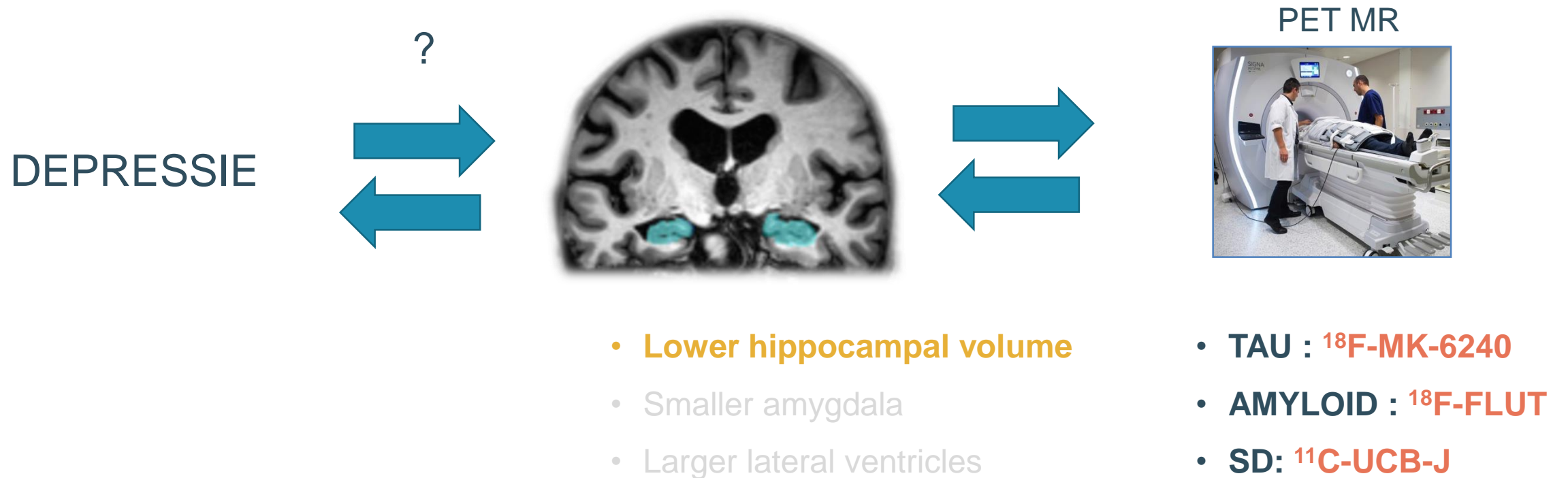


- **Lower hippocampal volume**
- Smaller amygdala
- Larger lateral ventricles

- **TAU**
- **AMYLOID**
- **SD**

1. Han et al., Molecular Psychiatry 2020
2. Enigma study

Depressie en het verouderende brein: intro



1. Han et al., Molecular Psychiatry 2020
2. Enigma study

Depressie en het verouderende brein: methods

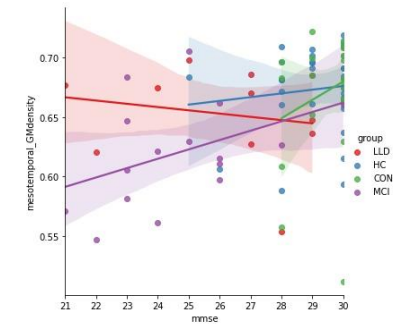
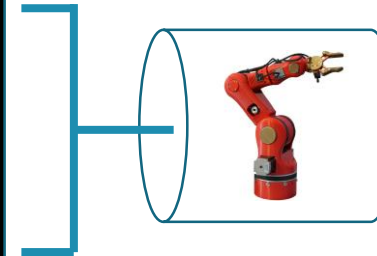
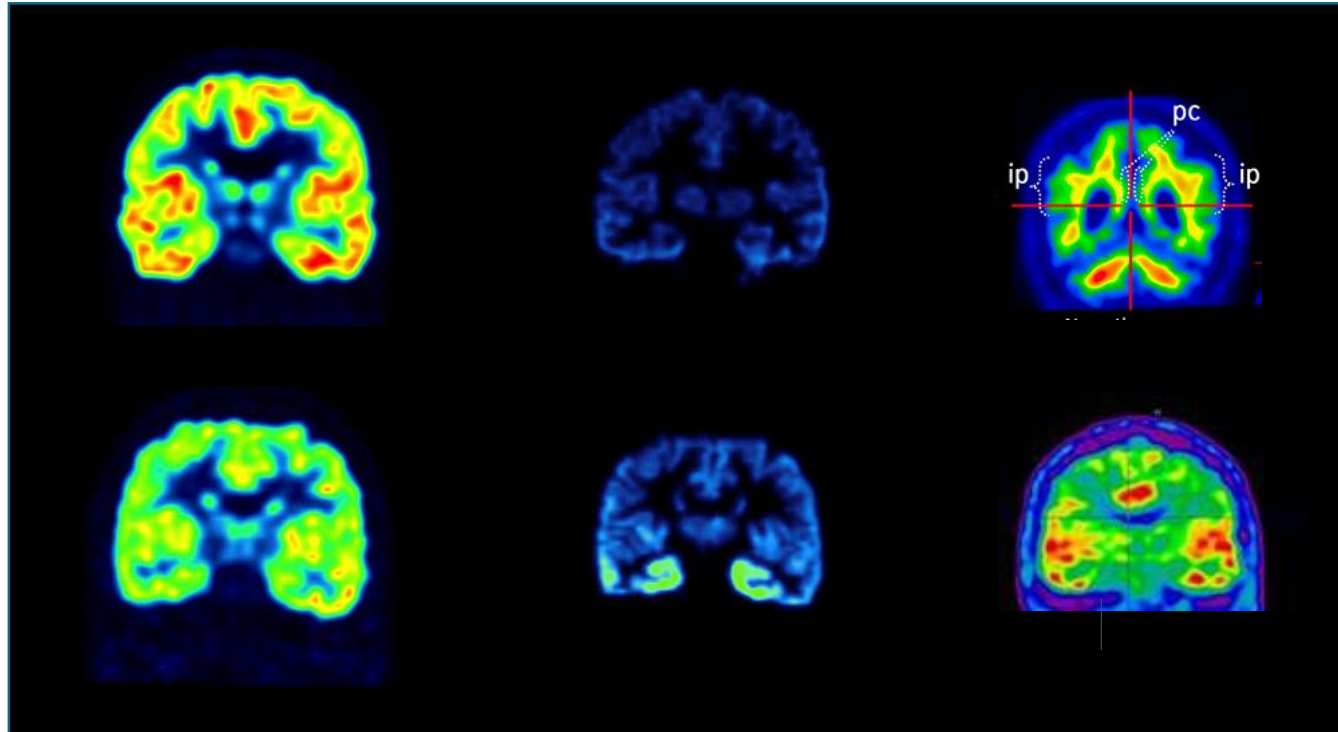
SD: ^{11}C -UCB-J

TAU : ^{18}F -MK-6240

AMYLOID : ^{18}F -FLUT

-

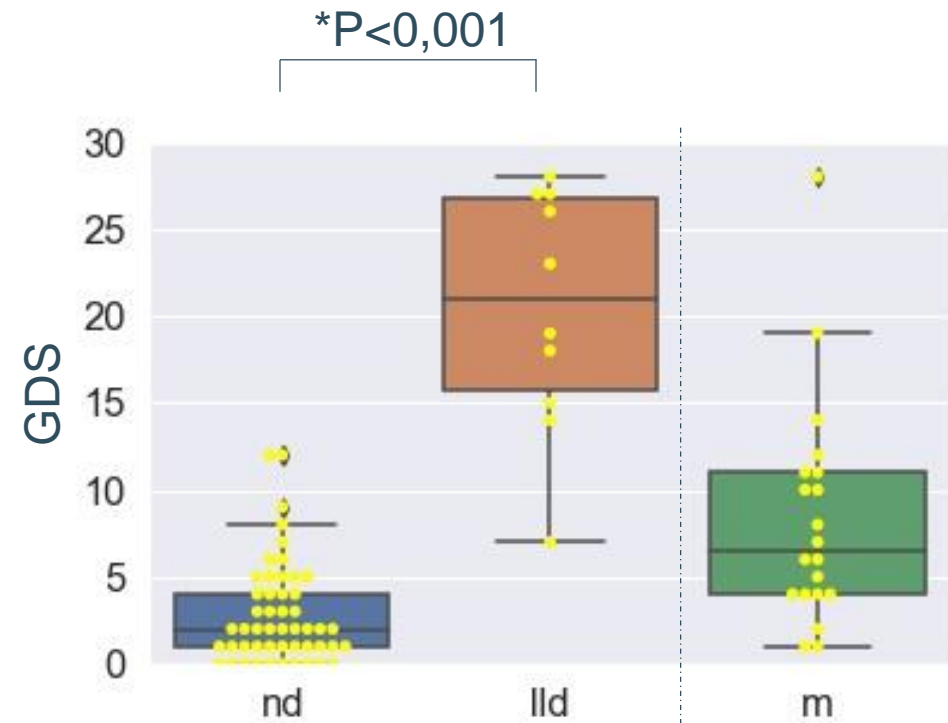
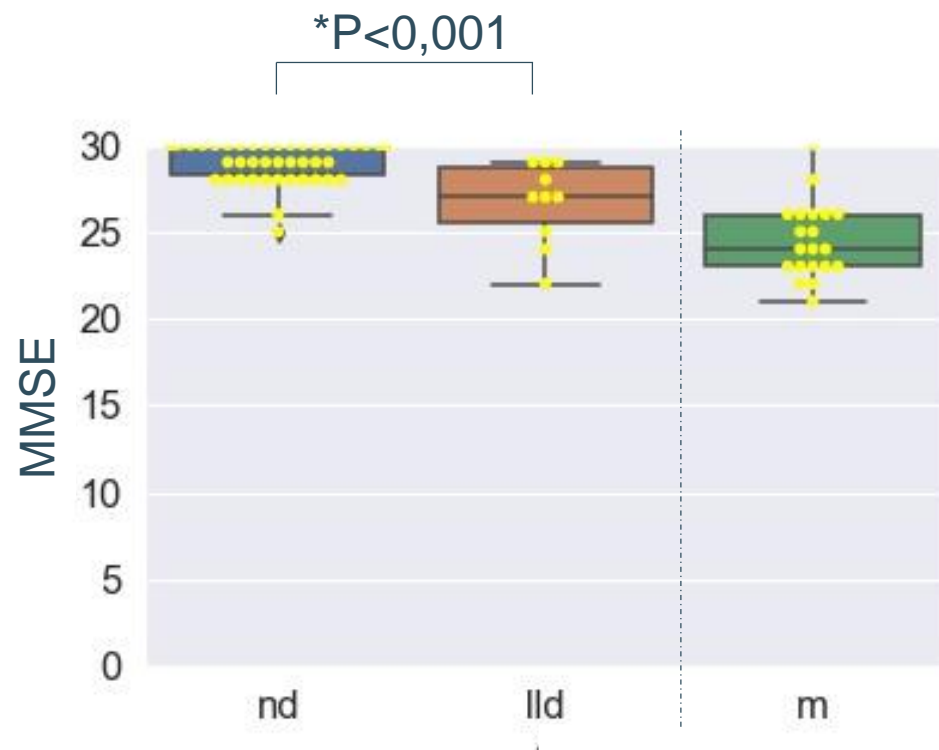
+



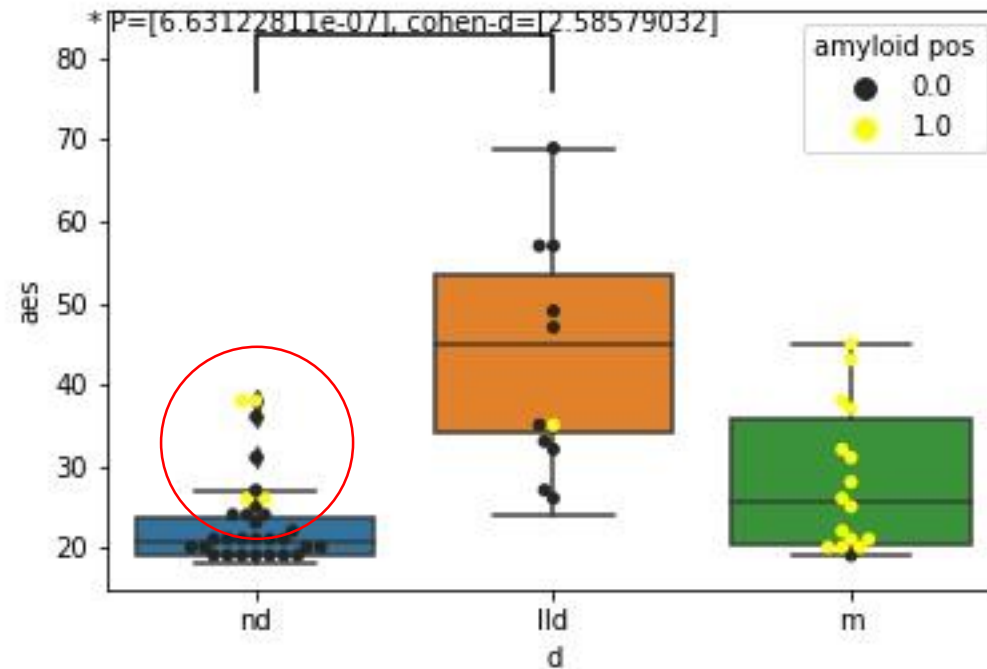
Demografische kenmerken

	LLD	CON	MCI	Statistical value	P-value
Number	10	50	20	/	/
Age (mean, sd)	72.8 (6.4)	69.5 (7.7)	70.1 (7.1)	U=295	p=0.38
Female (%)	70%	46%	60%	/	p=0.30
ApoE4 carrier (%)	20%	17%	65%	/	p=0.67
Amyloid Pos	1 (10%)	10 (20%)	95%	/	p=0.67
MMSE (mean, sd)	26.7 (2.4)	29.2 (1.1)	24.5 (2.2)	U=495.5	*<0.001
GDS (mean, sd)	20.4 (7.0)	2.8 (2.8)	8.35 (6.5)	U=66.5	*<0.001

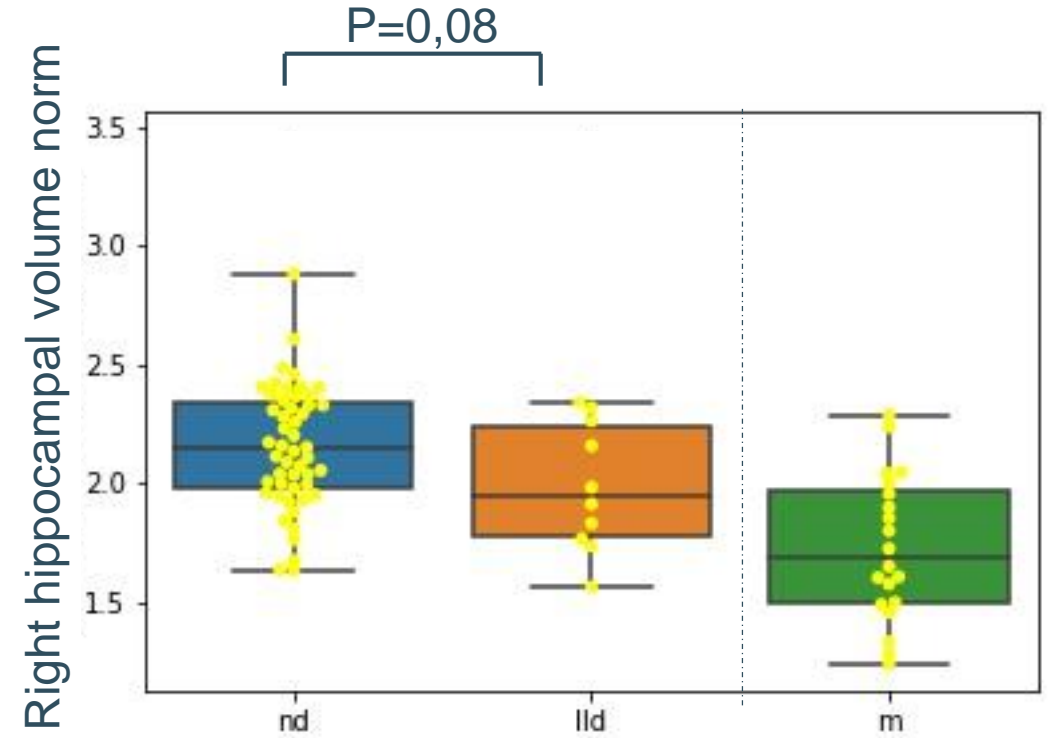
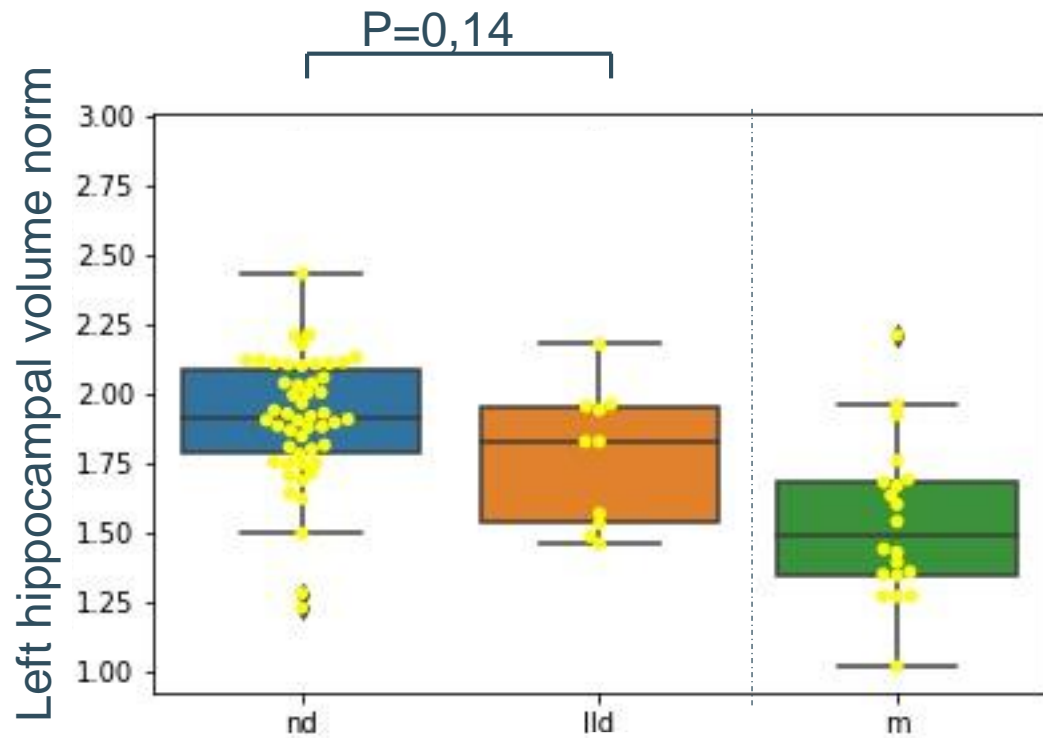
Klinisch verschillende groepen



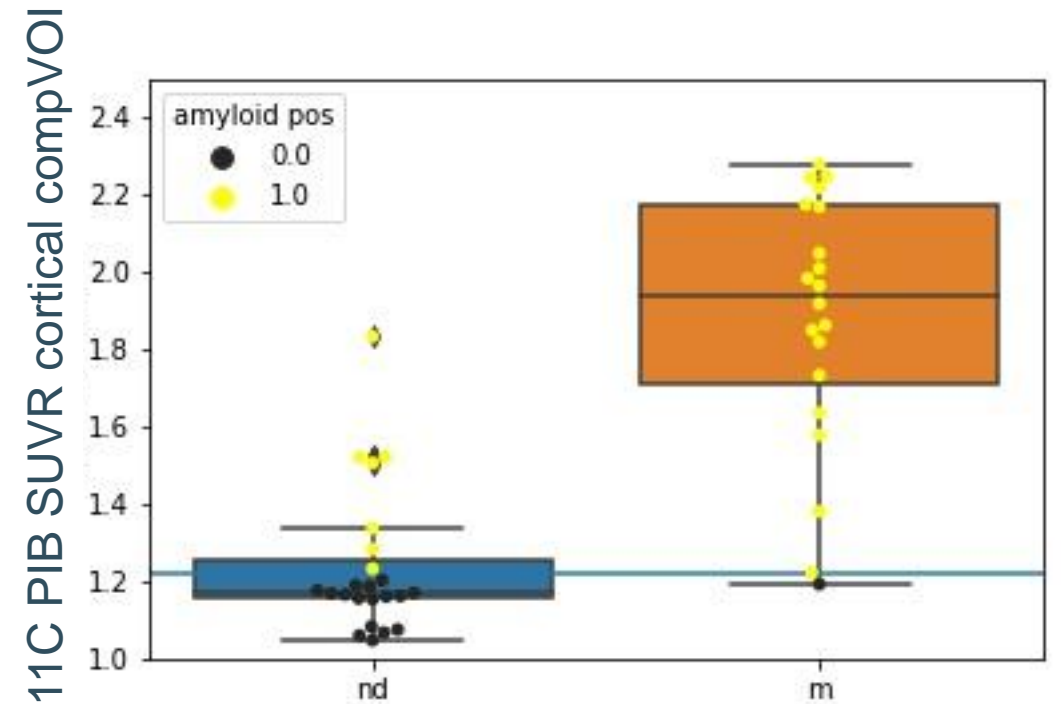
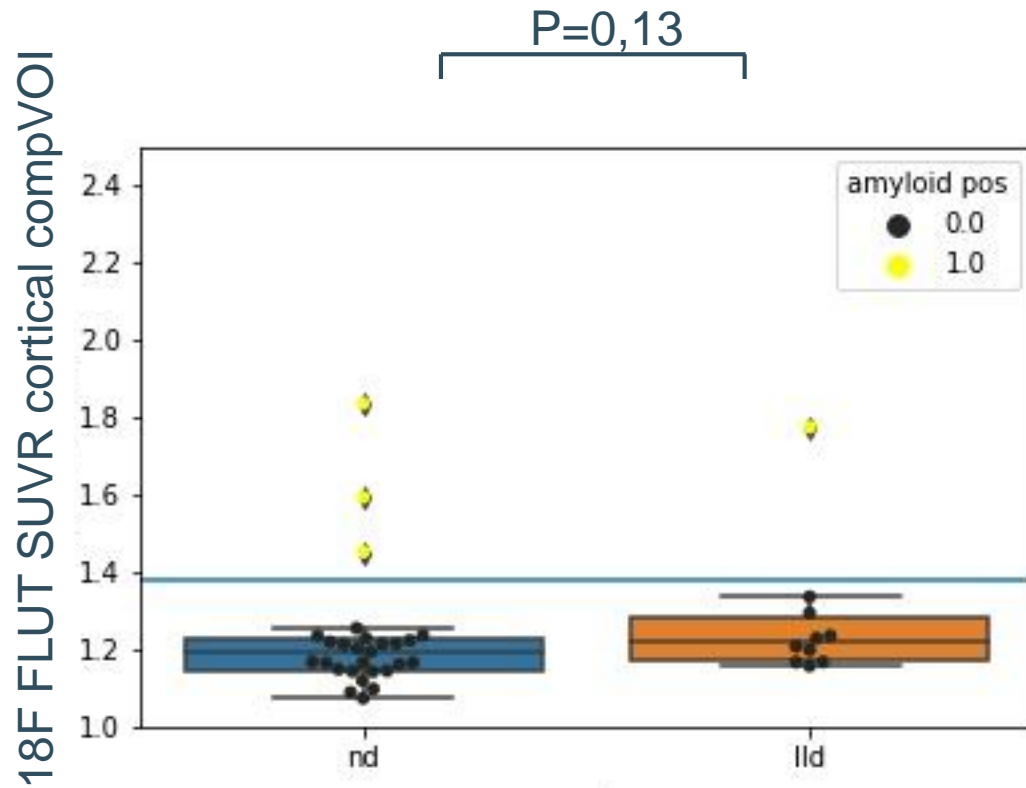
Apathie is hoger bij A β -positieve controles



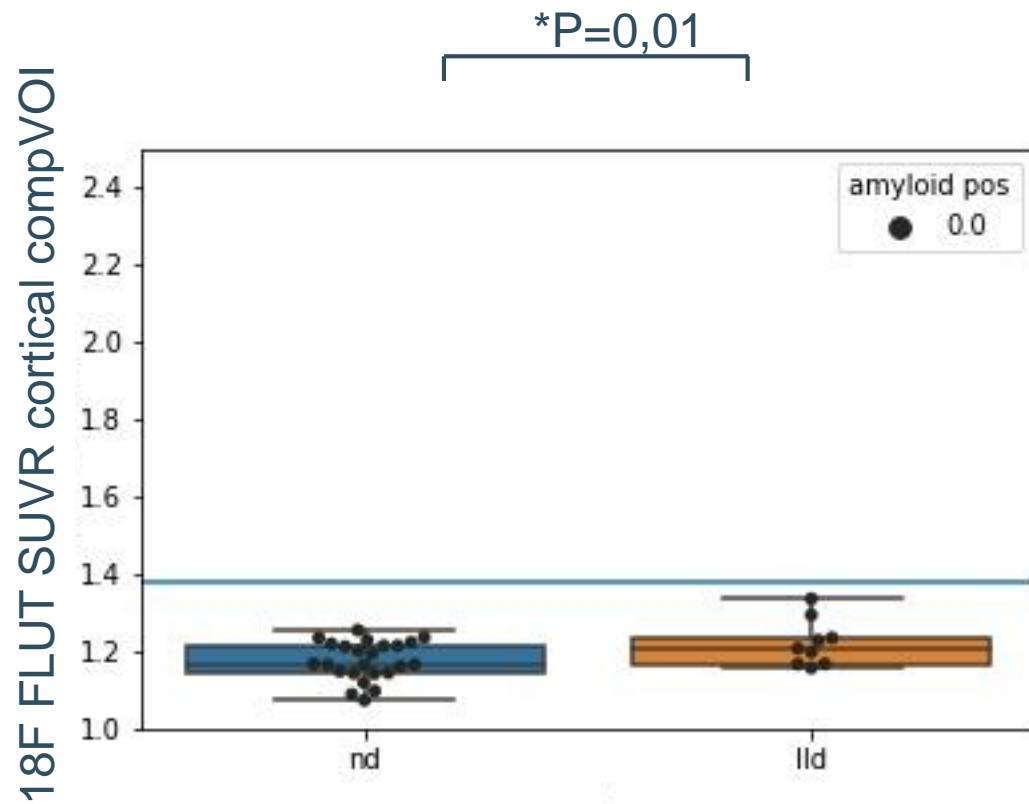
Verschillen in hippocampaal volume



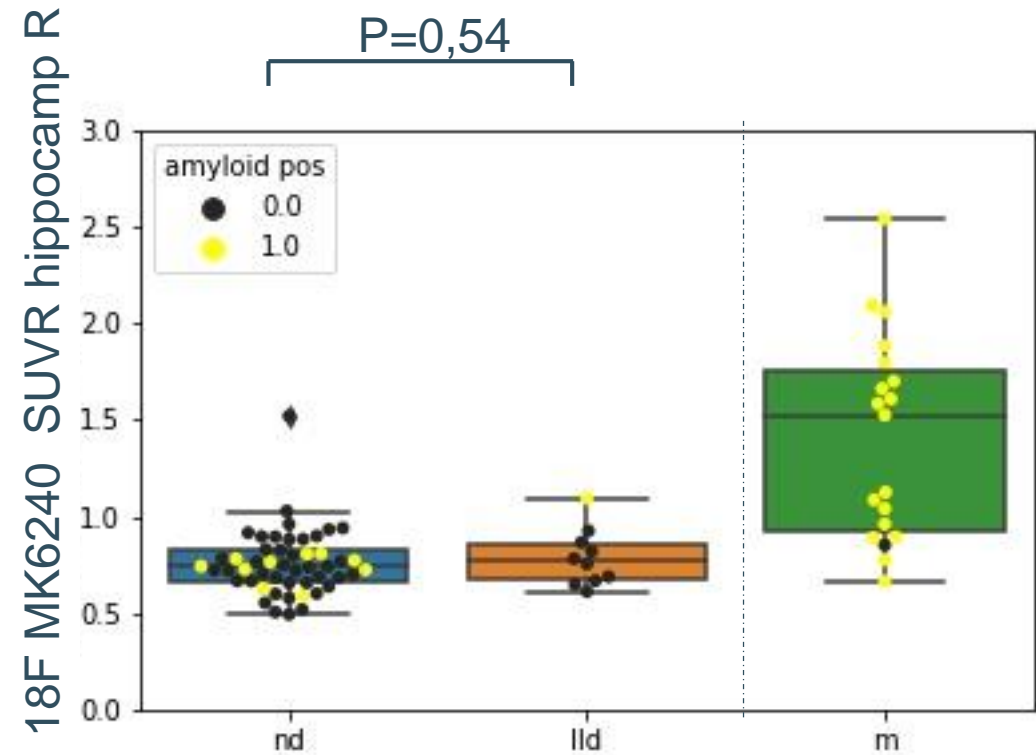
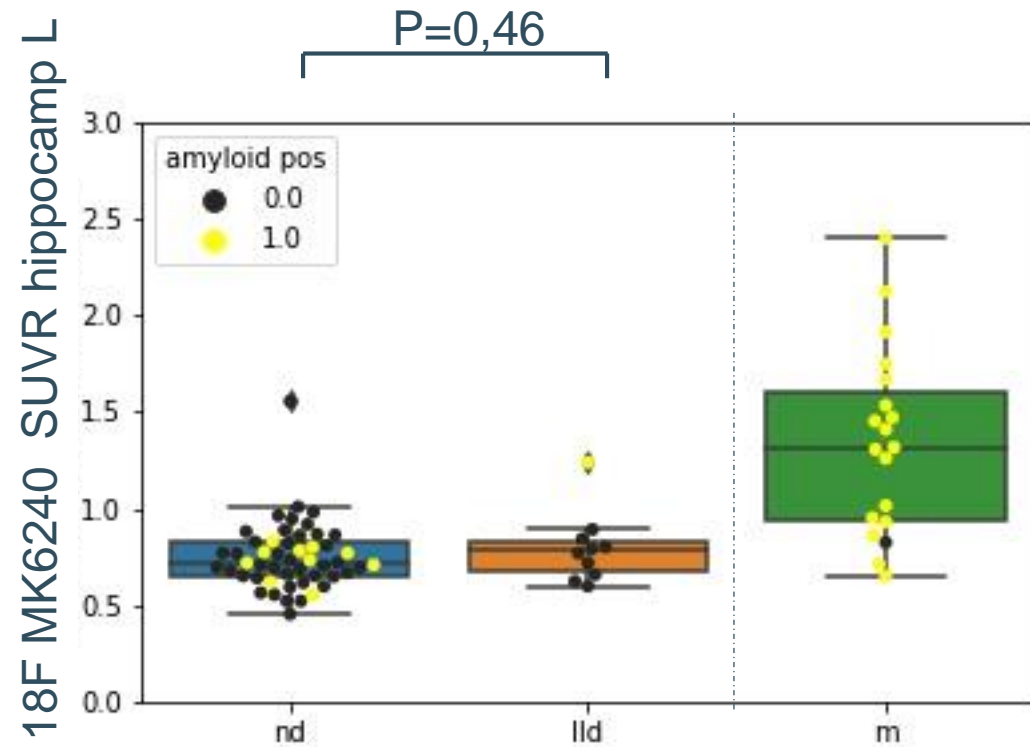
Corticale amyloid neerslag



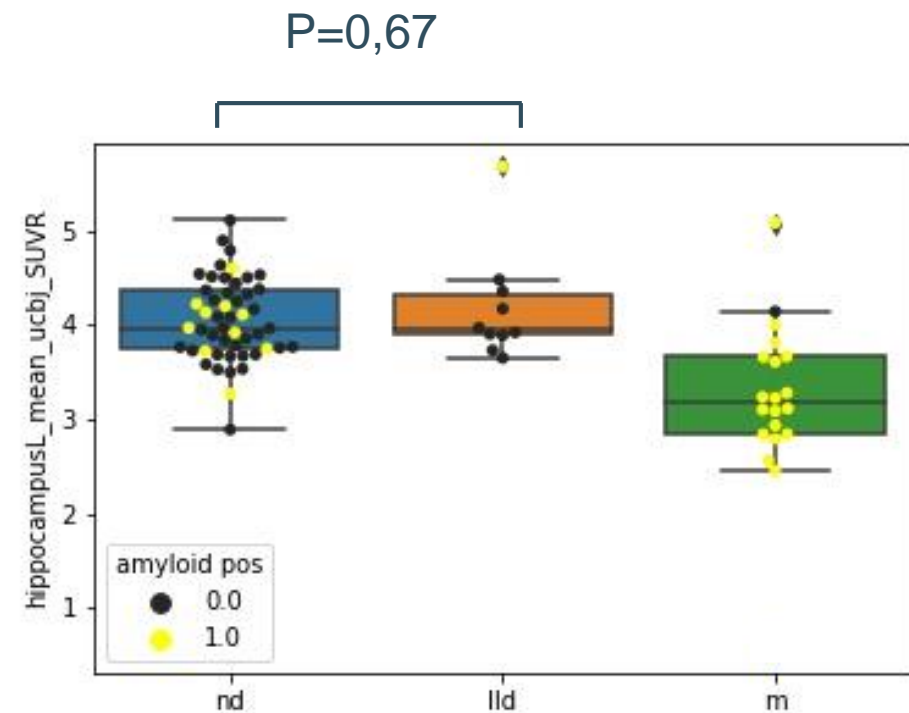
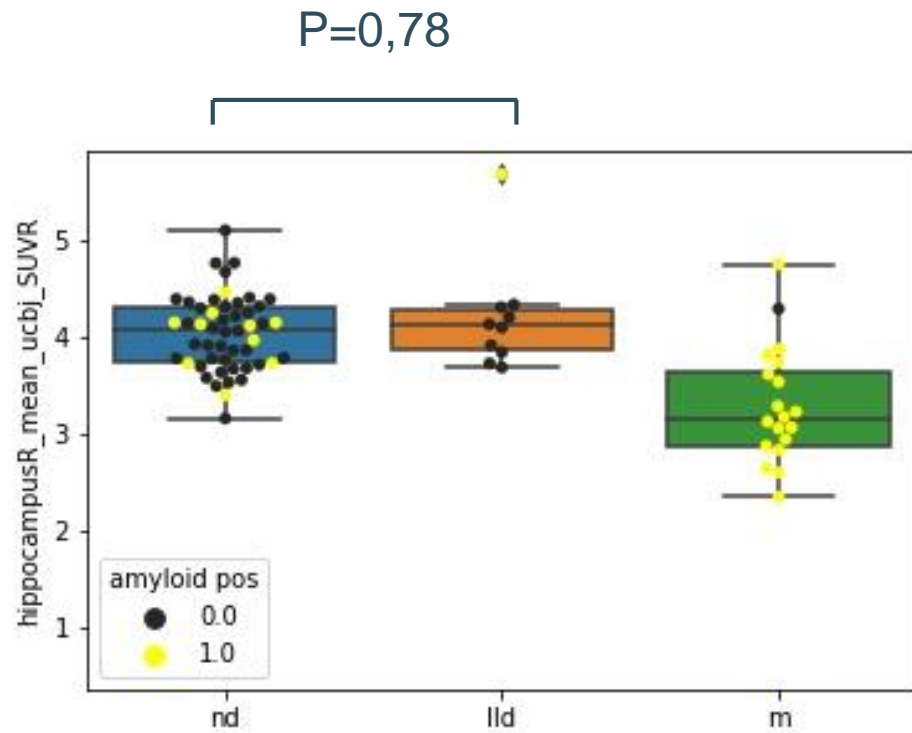
Corticale subthreshold amyloid neerslag



Geen verschil in hippocampale tau neerslag

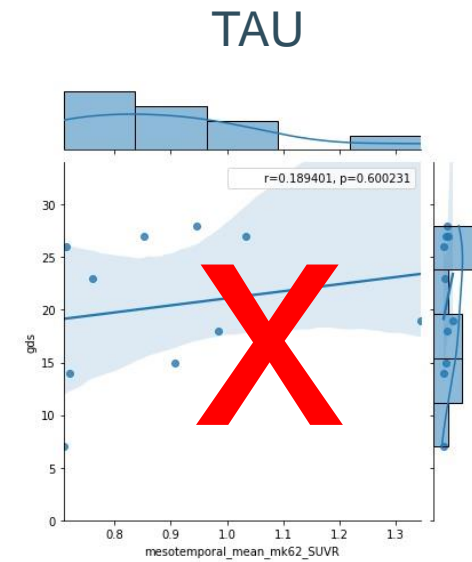
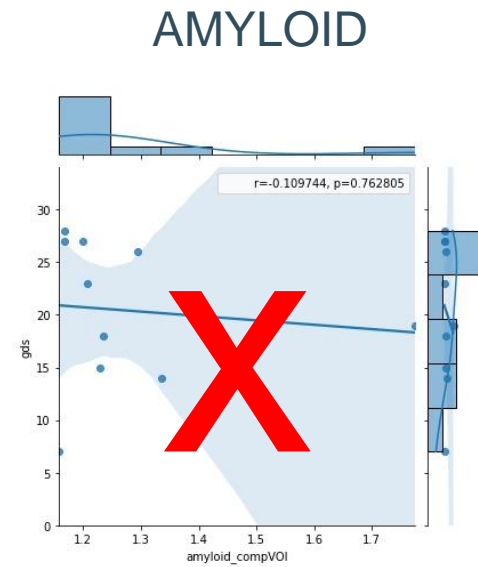


Geen verschil in hippocampale synaptische densiteit

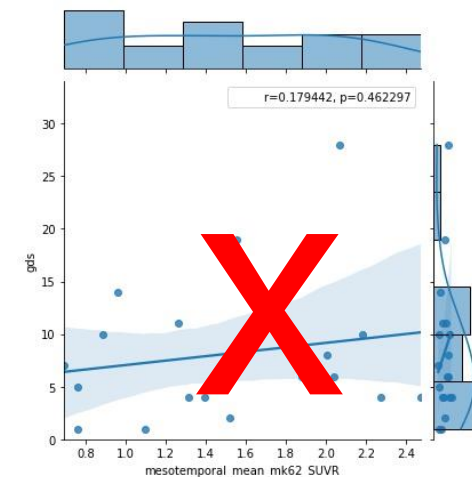
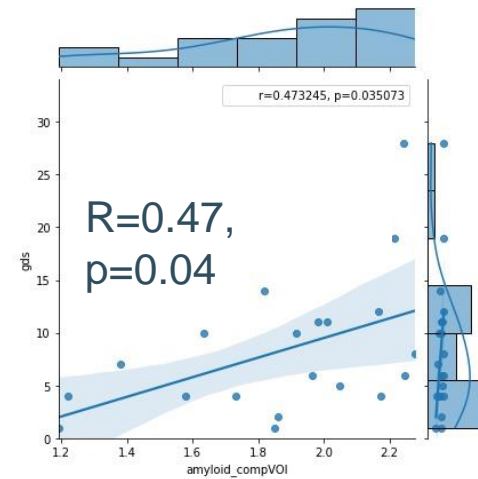


GDS correleert met amyloid neerslag in MCI, niet met tau

LLD



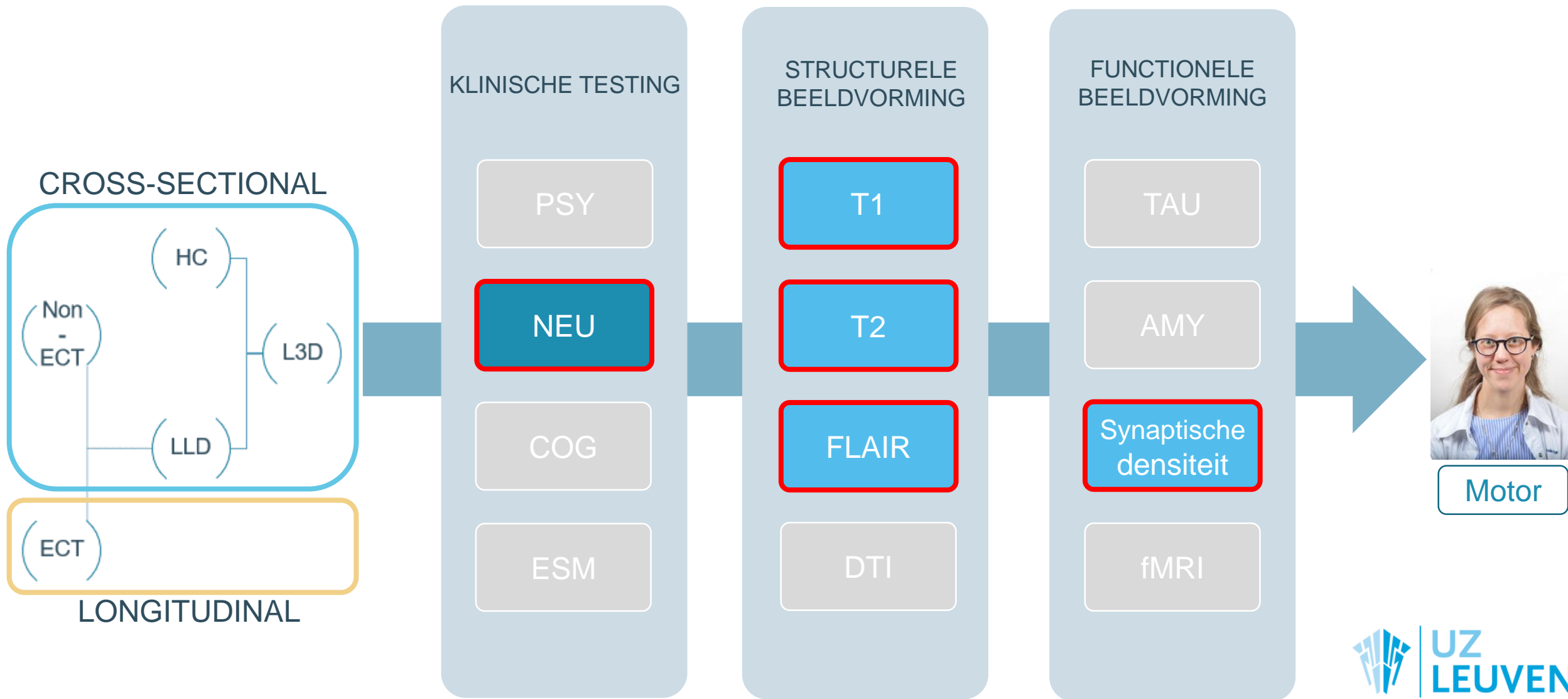
MCI



Samenvatting

- Geen significant verschil in:
 - Hippocampaal volume ($\sim p=0.14$)
 - Corticale amyloid neerslag ($\sim p=0.13$)
 - Hippocampale tau neerslag ($\sim p=0.30$)
 - Hippocampale synaptische densiteit ($\sim p=0.70$)
- GDS correleert met amyloid (niet met tau) in MCI (niet in LLD)

Psychomotore dysfunctie in depressie: een onderzoeksveld in beweging



Psychomotore dysfunctie (PMD)

Psycho = gerelateerd aan psychiatrische ziekte

Motore= betreft de motoriek

Dysfunctie = het werkt “niet goed”

PMD in 20(-60%) MDD³ en ↑ leeftijd⁵

PMD responsief op TCA en ECT⁴... maar PD ook



³ Calligiuri et al. 2000; ⁴Reijnders et al. Mov dis 2008, ⁵Rogers et al. 2002

Table 1
Overview of the psychomotor assessment techniques employed and main research purposes of the studies reviewed

Type of assessment	Number of studies	Main research purposes		
<i>1. Observer-rated assessments</i>			<i>2. Gross motor activity</i>	
Clinical evaluation	1	Diagnosis	Wrist actometer	9
Single-item observation				
-Hamilton Depression Rating Scale	17	Pathophysiology, predictive capacity, daily-life activity	Belt-worn actometer	2
			Movement analysis of gait	5
			Movement-pattern analysis (based on video-tape interview)	1
			Wrist rotation approach	2
-Diagnostic interview	1	Study of young patients (preschool-age)	<i>3. Fine motor activity: digitizer</i>	
Psychomotor rating scale			Copying tasks (lines, simple and complex figures)	5
-Salpêtrière Retardation Rating Scale	12	Validity, treatment effect, pathophysiology, measurement, diagnosis	Fitts' task	5
			Symbol Digit Substitution Task	3
-CORE Assessment of Psychomotor Change	6	Validity, pathophysiology, predictive capacity, diagnosis	Sentence writing and drawing superimposed concentric circles	3
-Motor Agitation and Retardation scale	2	Validity, treatment effect	<i>4. Speech analysis</i>	
				3
				Measurement, prognosis

Schrijvers et al. 2008.

Beeldvorming PMD



- **Structureel (CT/MRI)**

Ventrikeldilatatie

Atrofie suppl. motor cortex, prefrontale cortex, basale ganglia

Witte stofletsels (WML) frontostriataal en paralimbisch

- **Metabool** (Perfusie-, FDG-, RTI-32- and ^{18}F -DOPA - PET/ $^{99\text{m}}\text{Tc}$ - and ^{123}I -IBZM- SPECT/ ASL)

Hyper/hypofunctie in frontostriataal circuit/basale ganglia, prefrontale kwab, cinguli

- **Functioneel** (fMRI, EEG)

Gedaalde FA in VTA – frontale kwab connecties in fMRI

Hersensbrekers...

- PMD meting:
 - subjectief (schalen) vs objectief (instrumentele taken)
 - contributie stemming, motivatie en cognitie op meting
- PMD neuro beeldvorming: waar en wat? modaliteit? RDoC?
- PMD respons op ECT: hoe?

Motorisch assessment in L3D studie

> *Psychopathology*. 2021;54(2):106-112. doi: 10.1159/000512959. Epub 2021 Mar 1.

Depression Severity Is Related to Less Gross Body Movement: A Motion Energy Analysis

Anna Sandmeir ¹, Désirée Schoenherr ², Uwe Altmann ², Christoph Nikendei ³,
Henning Schauenburg ³, Ulrike Dinger ³

Klinisch

- CORE schaal
- UPDRS III
- SARA
- (NMSQ-PD)



Experimenteel

- **Tablet teken en schrijftaak**
- Purdue Pegboard test
- **Accelerometrie (Chill Band)**
- Ganganalyse
- (spraakanalyse)

	HC (n=31) mean (SD)	LLD (n=8) mean (SD)	P*
MADRS	1.1 (1.87)	33.4 (11.09)	<0.001
MMSE	28.7 (1.39)	25.7 (3.35)	0.001
UPDRSIII	3.1 (2.73)	26.5 (11.77)	0.001
CORE	1.2 (1.81)	21.8 (10.20)	<0.001
SARA	1.2 (1.41)	6.0 (2.74)	0.001
PPT both hands (peg/30s)	10.6 (0.32)	8.33 (1.12)	0.012
Gait velocity (m/s)	1.18 (0.184)	0.85 (0.335)	0.001

1.18 (0.184) variance or ²with unequal variance, p= 0.05 (2 sided), ns = not significant

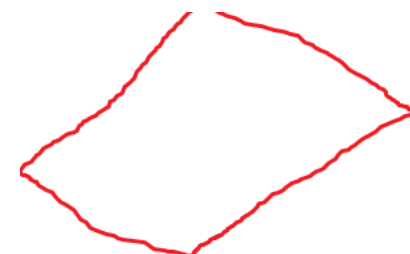


Image drawing^{1,2}: MovalyzeR

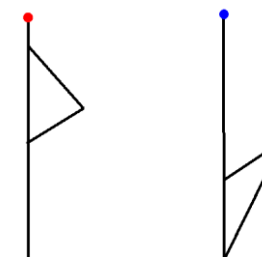
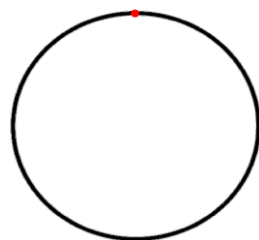
EASY

COMPLEX

UNCUED

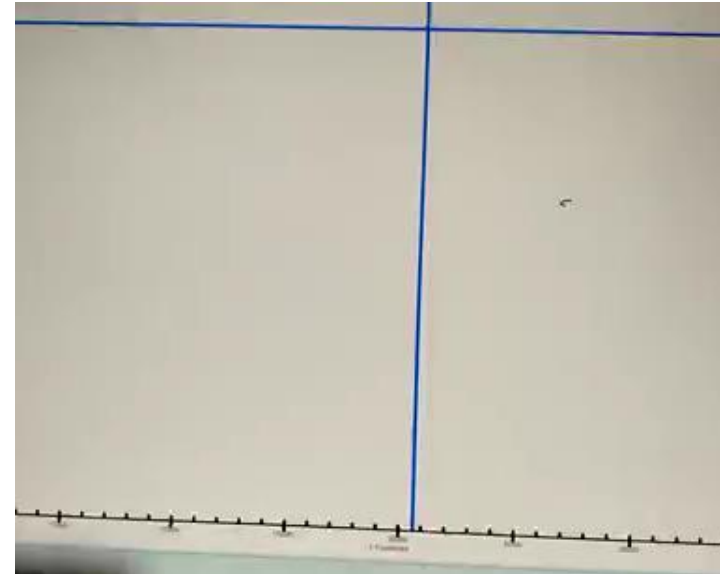
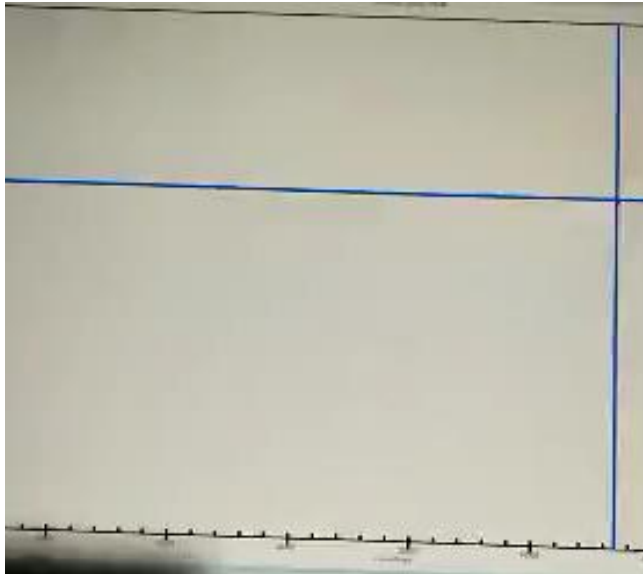


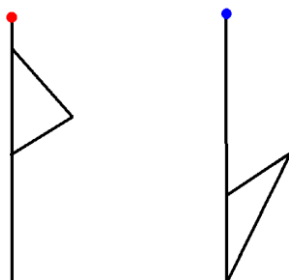
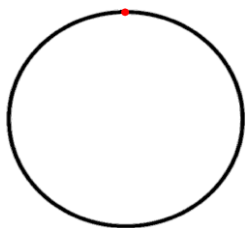
CUED



¹ Smits E et al. Standardized Handwriting to Assess Bradykinesia, Micrographia and Tremor in Parkinson's Disease. PLoS ONE 9(5): e97614.
² Hoffstaedter F et al. Internally vs. externally triggered movements in patients with major depression. *Behav Brain Res*. 2012 1;228(1):125-32.

Teken een cirkel, beginnend bij de rode bol...



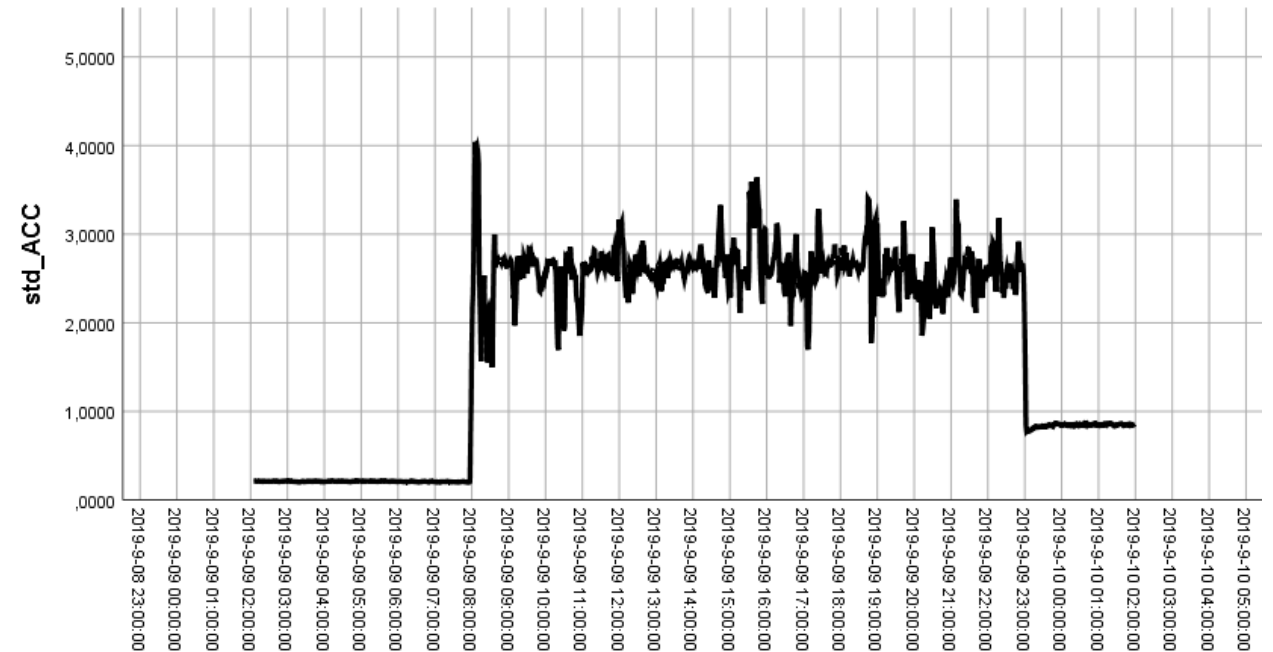
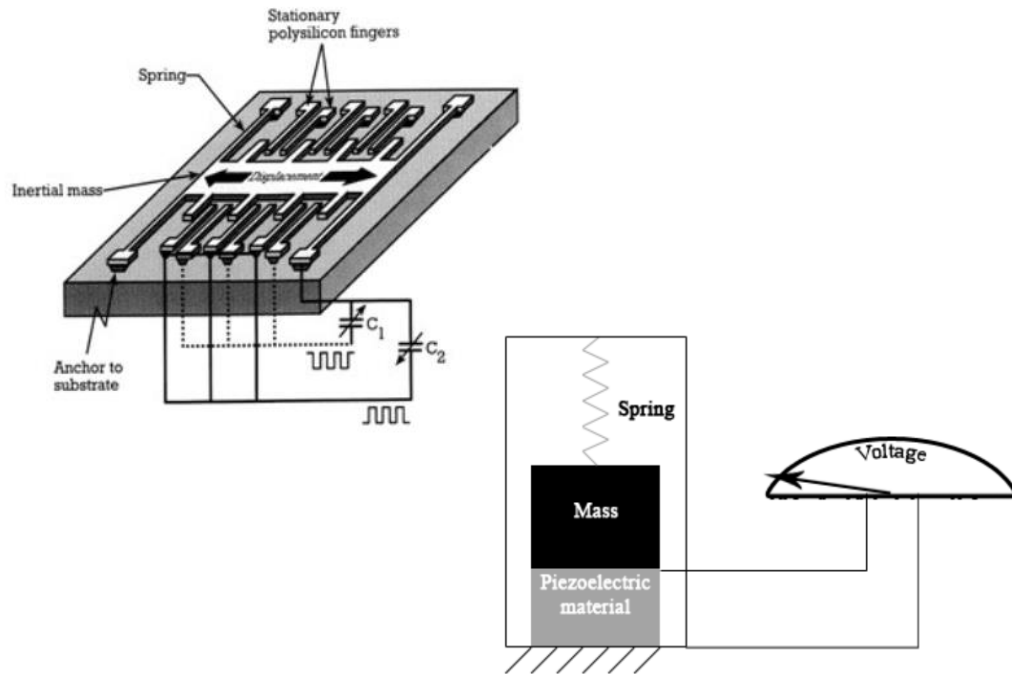


	HC (n=31)	LLD (n=8)	P*
LINE motor time (MT, s)	9.0 (2.62)	13.0 (4.75)	(0.052)
LINE start position (SP, s)	4.8 (1.31)	5.6 (2.42)	n.s.
LINE initiation time (IT, s)	5.8 (1.36)	10.1 (4.22)	n.s.
LINE drawing time (DT, s)	3.2 (1.84)	5.5 (2.46)	0.005
LINE velocity (cm/s)	12.2 (6.55)	6.1 (2.36)	0.014
CIRCLE MT	18.0 (6.14)	32.6 (7.74)	<0.001
CIRCLE SP	5.2 (1.39)	5.0 (2.06)	n.s.
CIRCLE IT	6.6 (1.86)	9.0 (3.20)	0.010
CIRCLE DT	11.3 (5.04)	23.8 (5.71)	<0.001
FLAGS MT	23.4 (7.47)	38.7 (10.31)	< 0.001
FLAGS SP	6.0 (1.52)	4.2 (2.07)	0.012
FLAGS IT	8.1 (2.27)	9.6 (4.24)	n.s.
FLAGS DT FL 1	7.7 (3.29)	14.3 (2.54)	<0.001
FLAGS L to R swichtime	1.7 (0.96)	2.5 (0.91)	0.015
FLAGS DT FL 2	5.9 (2.59)	11.5 (2.10)	<0.001

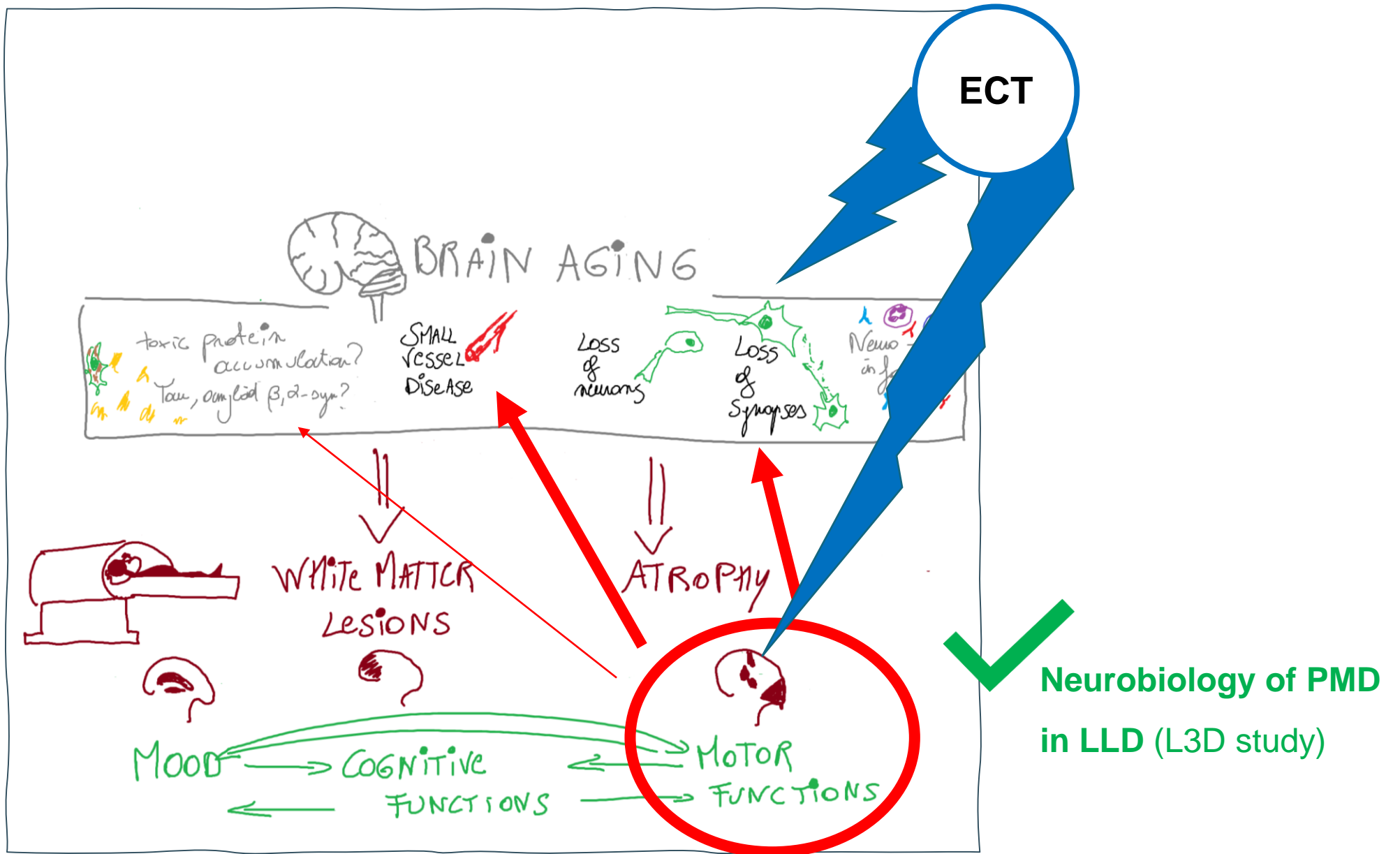
* Student's t test ¹with equal variance or ²with unequal variance, p= 0.05 (2 sided). n.s. = non significant



Chillband: 3-Axial accelerometer



<https://learn.sparkfun.com/tutorials/accelerometer-basics/all>

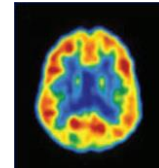


Imaging: MRI & PET



MRI sequences

- **T1**
- **T2 Cube + T2 High Resolution (hippocampus)**
- **FLAIR**
- ASL (Tissue perfusion)
- SWAN (blood vessels, iron)
- DTI (tractography)
- rsMRI (DMN – ACC en pFC)

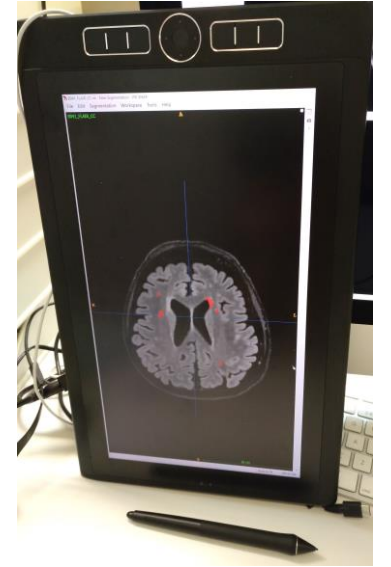


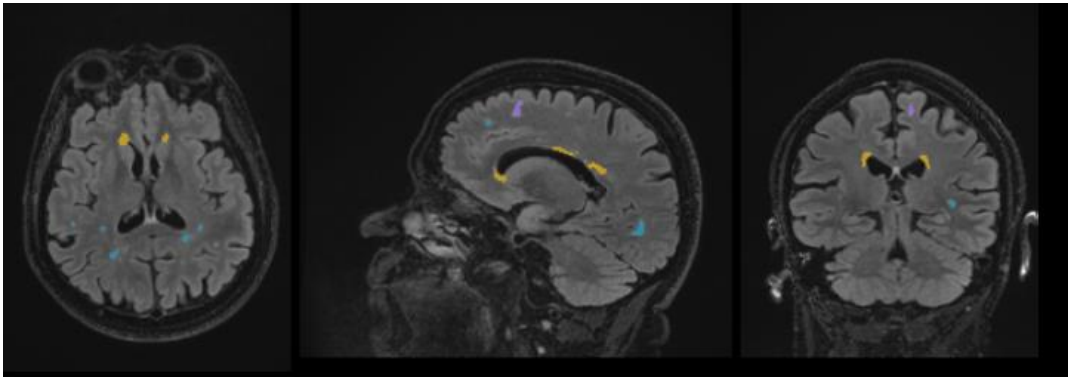
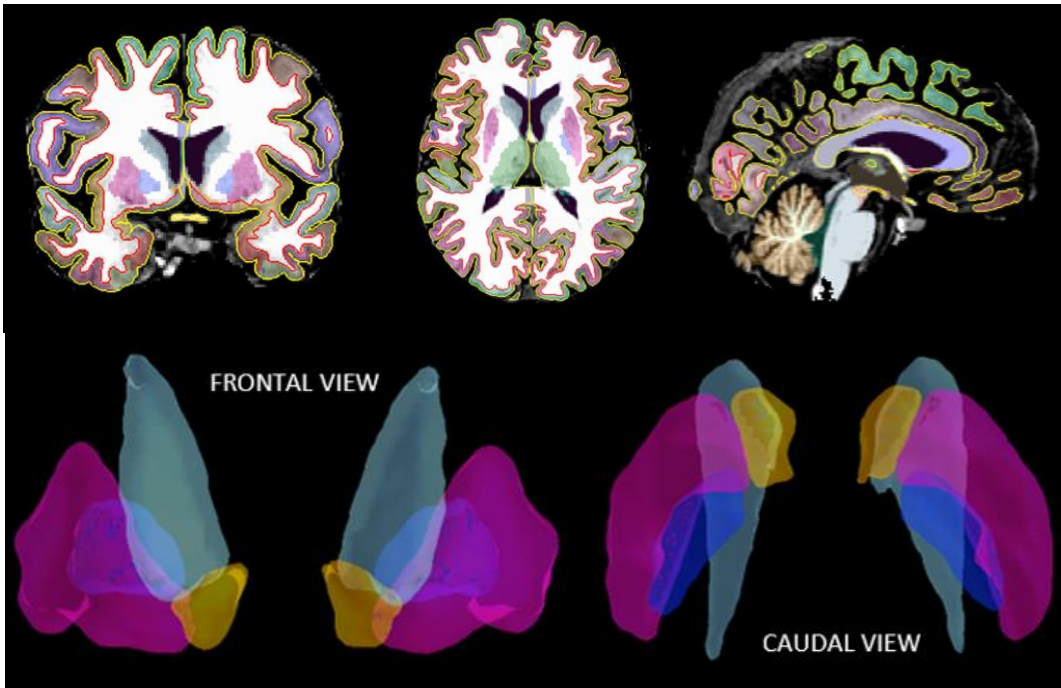
PET modalities

- **UCB-J (11C) $T_{1/2}$ 20 min**
Target: SV2A (synaptic density)
- MK-6240 (18F) $T_{1/2}$ 110 min.
Target: Tau (NF tangles)
- Flutemetamol (18F) $T_{1/2}$ 110 min.
Target: β -Amyloïd (plaques)

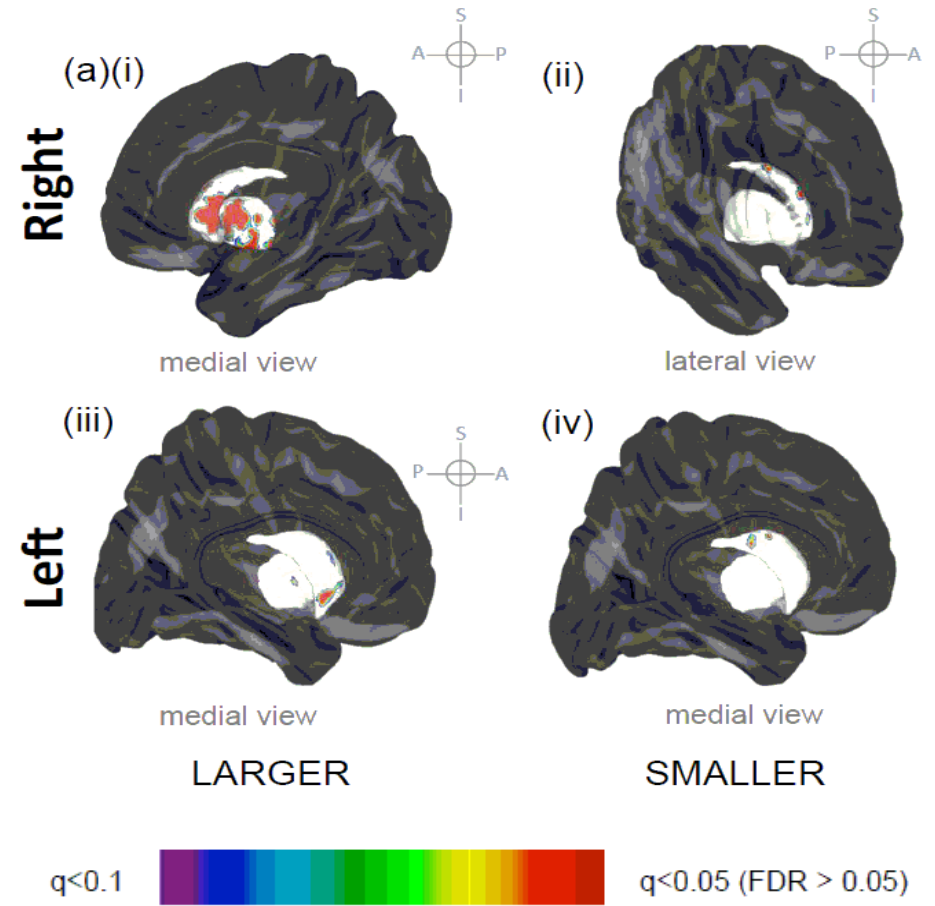
PMD neurobiologie: MRI

- Volumetrie vs shape analyse vs VBM
 - WML quantificatie: Fazekas vs automated vs semi-automated
 - WM integriteit analyse: DTI/tractografie → hubs vs connecties
 - ...
- Statistisch design met controle voor leeftijd, geslacht, cognitie en stemming = sufficiënte sample size (power analyse)!





Surface area (bilateral)



Conclusie neurobiologie van PMD

1. Meten van PMD:

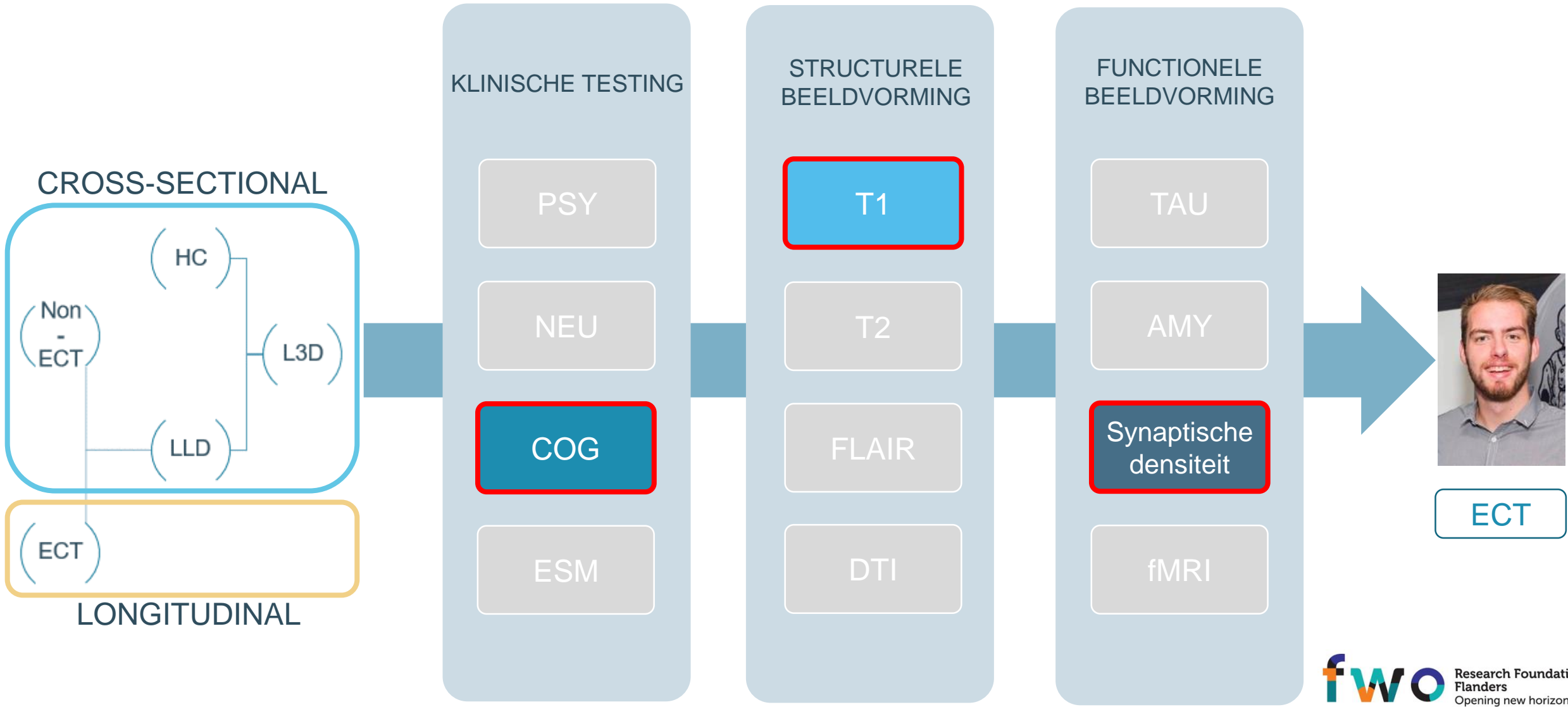
- Objectieve technieken (tablet, 24u-actimetrie)
- Sample size toename → controle voor cognitie, stemming, apathie

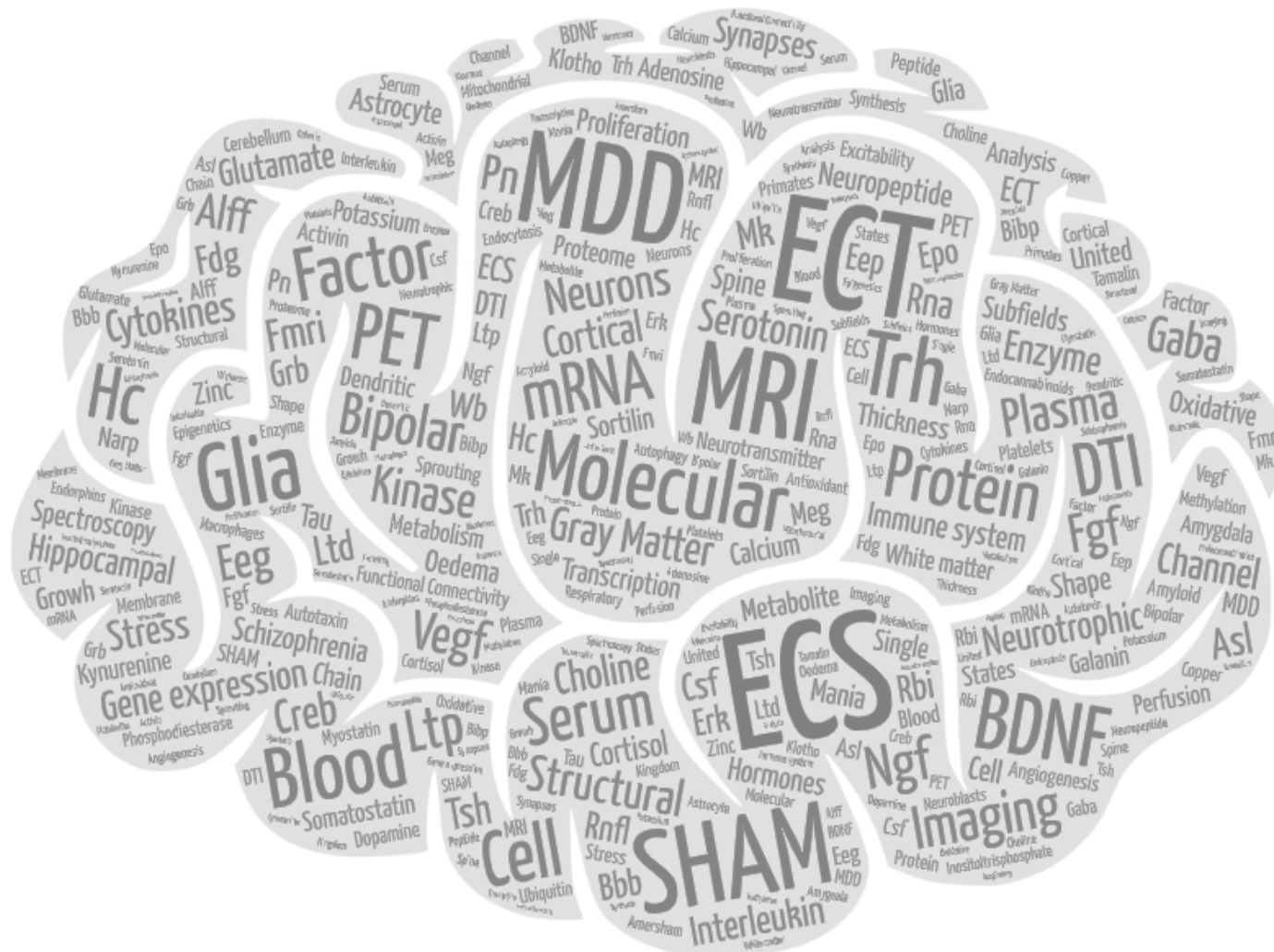
2. Beeldvorming hersenen bij PMD:

- hybride modaliteiten

3. Neuroplasticiteit basale ganglia bij ECT ?

Neurobiologische effecten van ECT bij depressie op latere leeftijd





Wat zegt de literatuur?

ECT



- Grijsz stof toename
- Functionele connectiviteit
- Neurotrofe factoren
- Cytokines
- Metabolites
- Gen expressie

ECS



- Neuroplasticiteit
- synaptogenese
- Angiogenese
- Gen expressie
- Cytokines
- Neurotrofe factoren

Wat zegt de literatuur?

ECT



- Grijze stof toename
- Functionele connectiviteit
- Neurotrofe factoren
- Cytokines
- Metabolites
- Gen expressie



ECS



- Neuroplasticiteit
- synaptogenese
- Angiogenese
- Gen expressie
- Cytokines
- Neurotrofe factoren

Synaptic plasticity following electroconvulsive therapy

Neuroplasticity



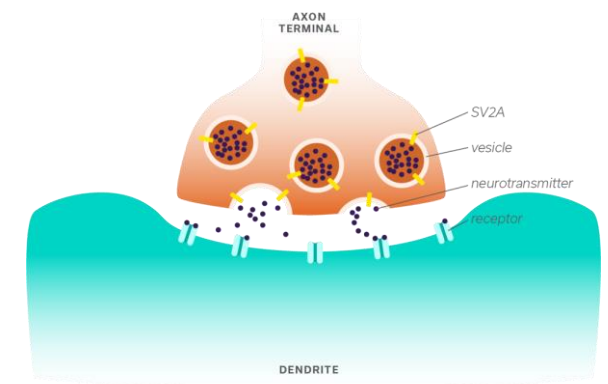
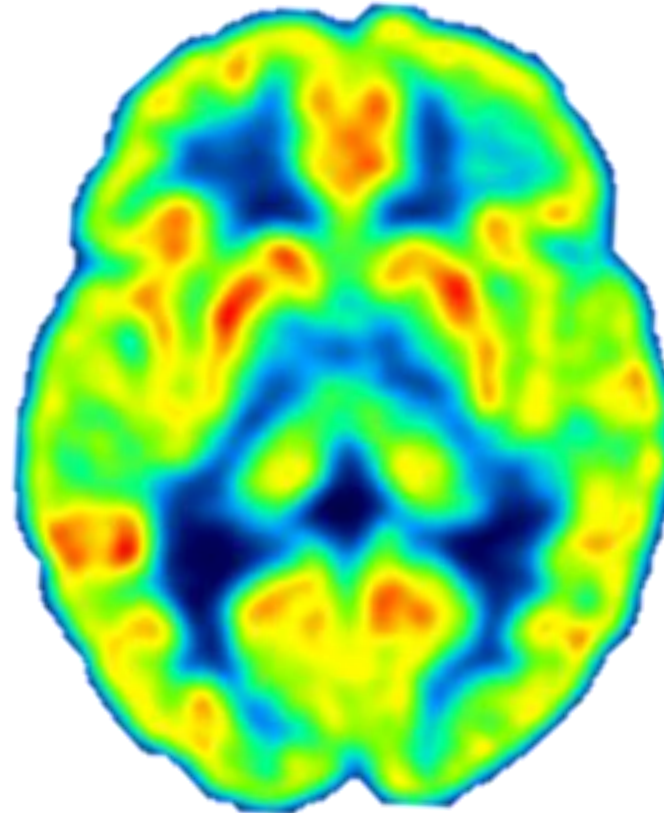
Leuven Late-Life Depression Study



UCB-J radiotracer



Longitudinal design



ECT Design

Baseline T_1 & post-ECT T_2

Psychiatrische data

- Montgomery-Asberg Depression Rating Scale
- Geriatric Depression Scale
- Apathy Evaluation Scale

Neuropsychologische data

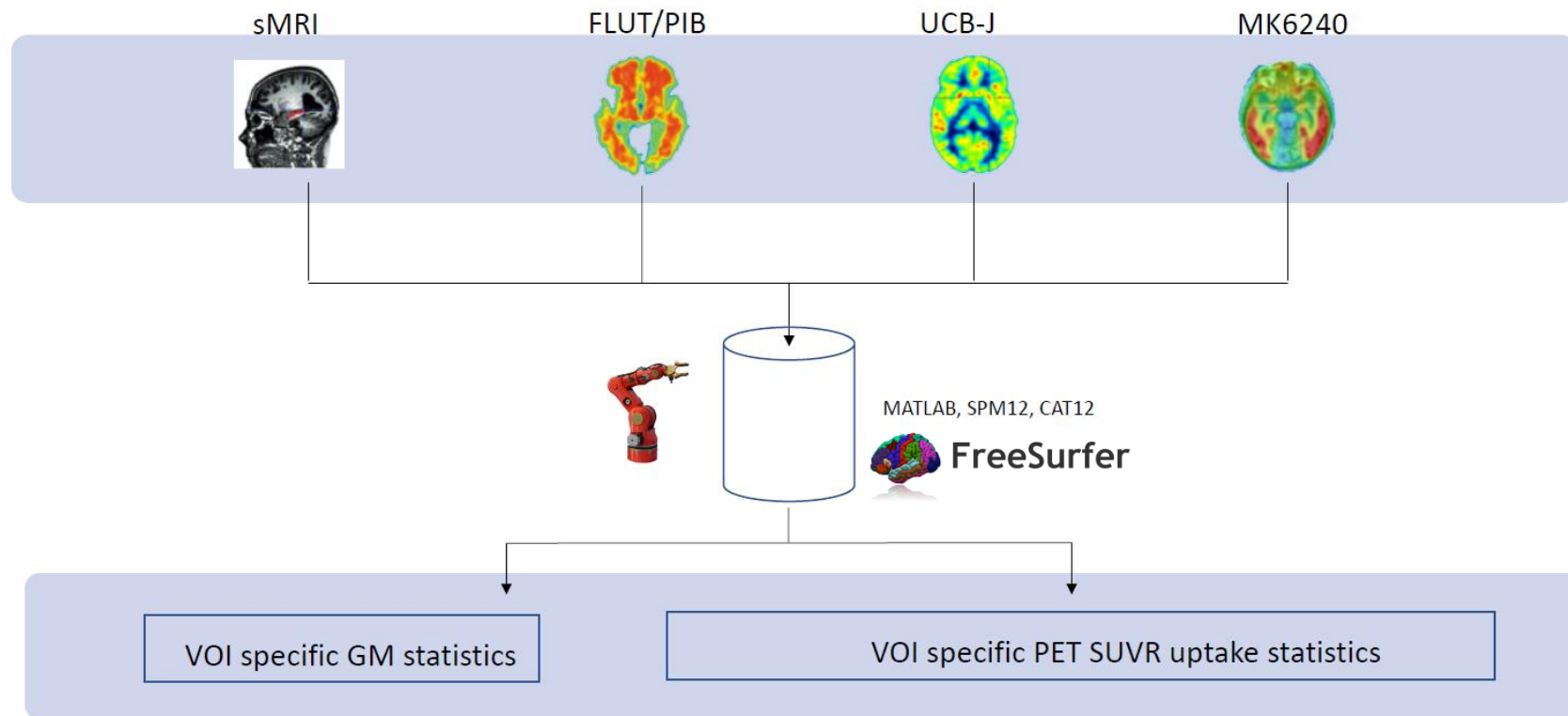
- Mini-Mental State Examination
- Auditory verbal learning test (M)
- Raven's Coloured Progressive Matrices (EF)
- Trail Making Test (A)
- Stroop Task (EF)
- Boston Naming Test (M)
- Verbal fluency
- Digit span (M)
- Autobiographical memory interview (M)

M: memory ; EF: Executive Functioning ; A: Attention

PET-MRI imaging

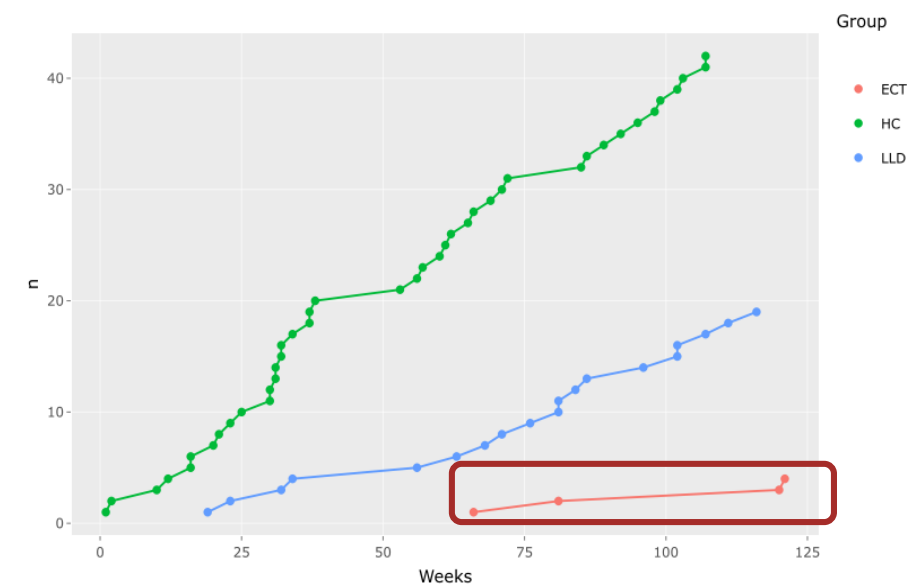
- PET
 - Synaptic Density (11C-UCB-J)
- MRI
 - T1
 - High Resolution T2
 - Resting fMRI

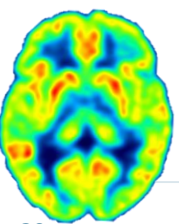
Processing



Kenmerken

	B034	B042
Leeftijd	74	71
Geslacht	V	V
Opleiding (jaren)	12	16
BMI	34	18
MMSE	29	29
Voorgaande MDD episodes	2	4
Psychotische kenmerken	Afwezig	Afwezig
Onset leeftijd	45	33
Vroegere ECT	Nee	Ja
Stimulatie	RUL	RUL

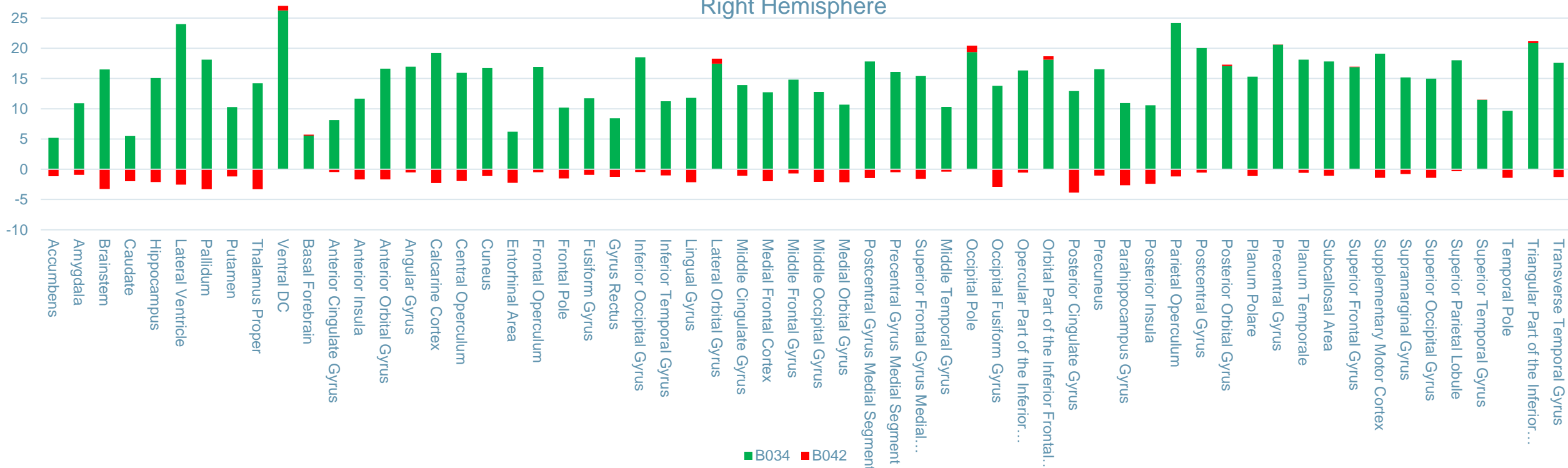




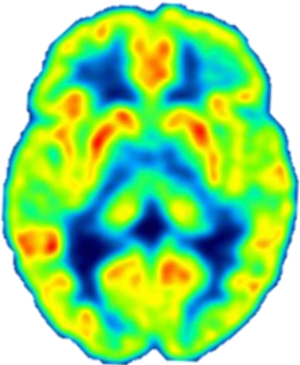
Left Hemisphere



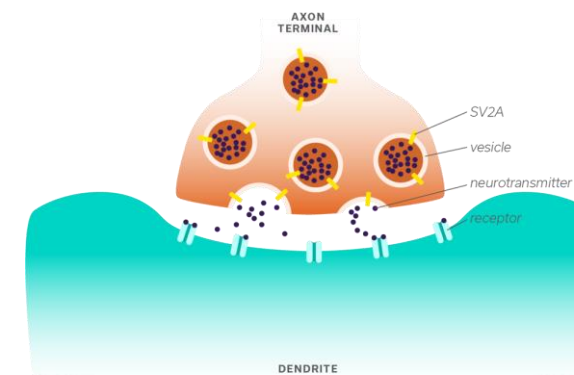
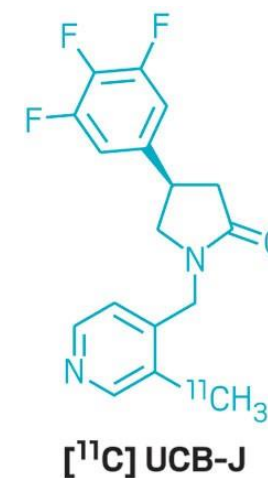
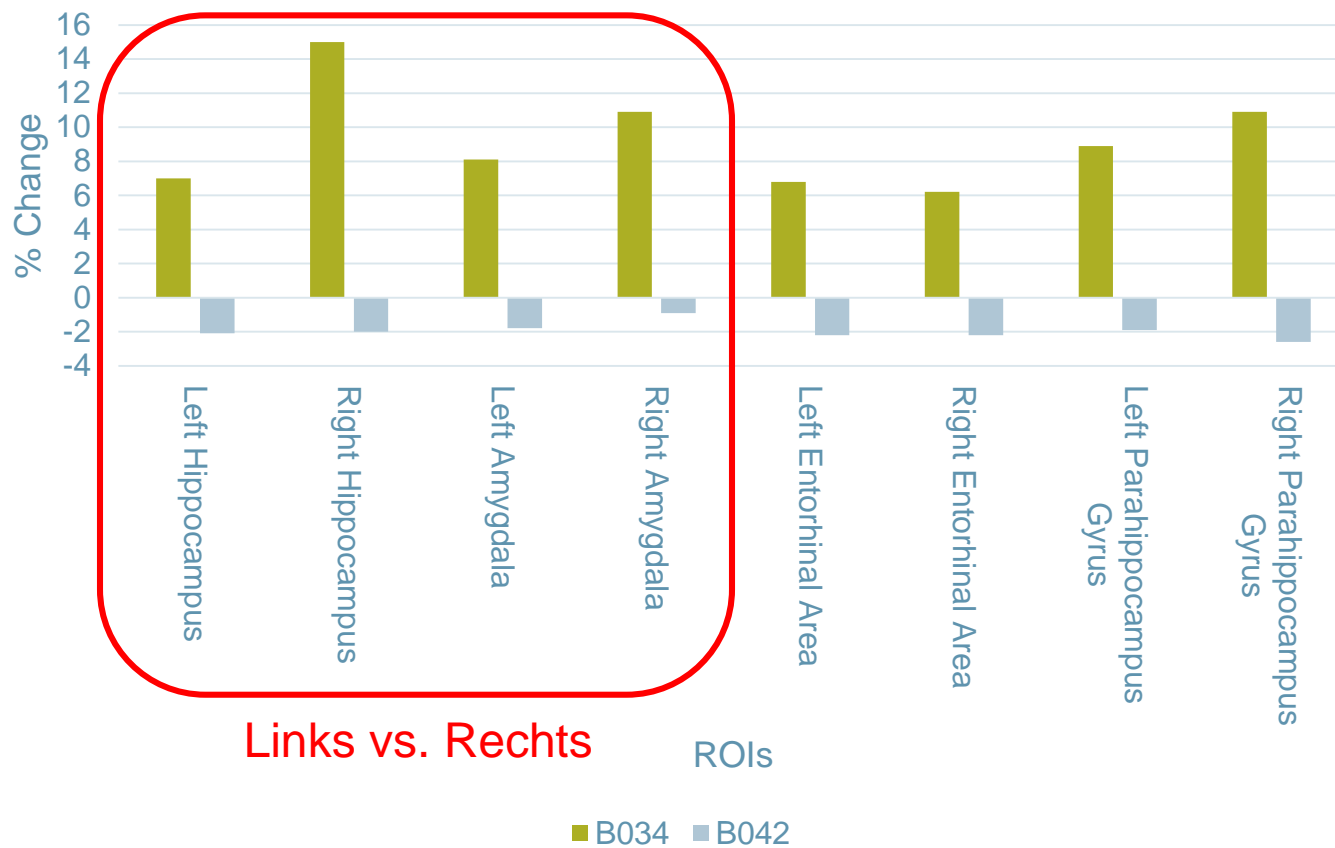
Right Hemisphere



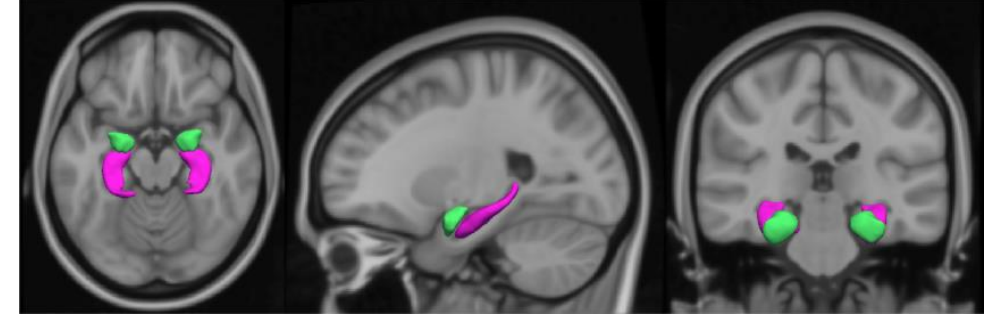
■ B034 ■ B042



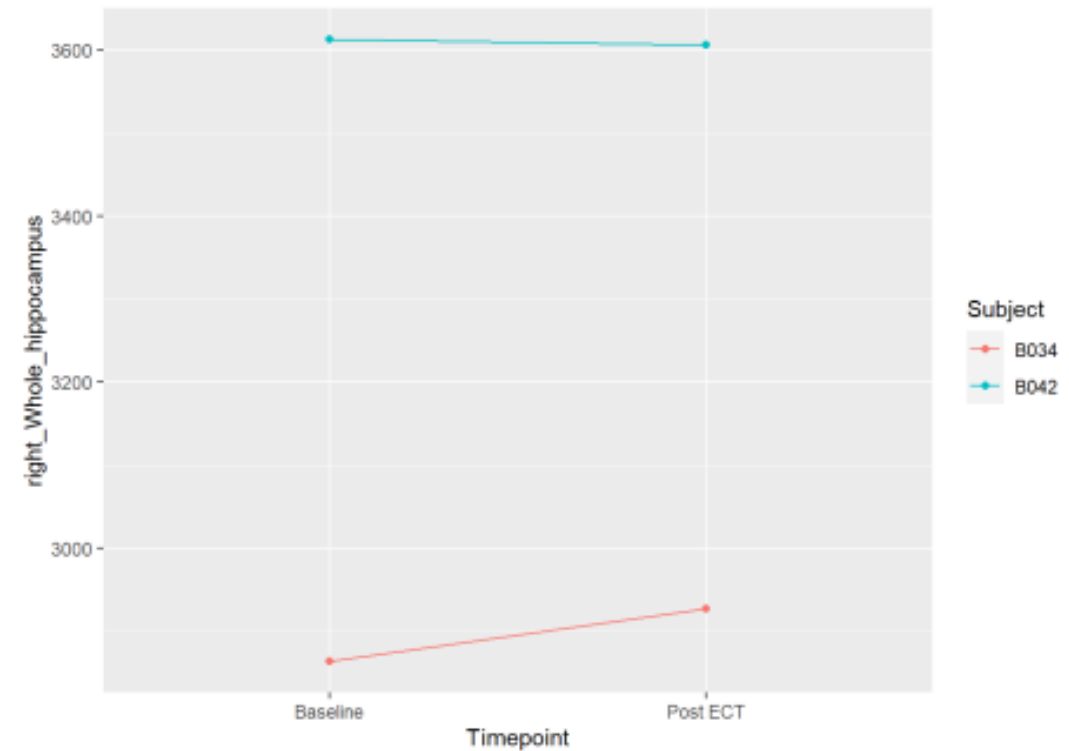
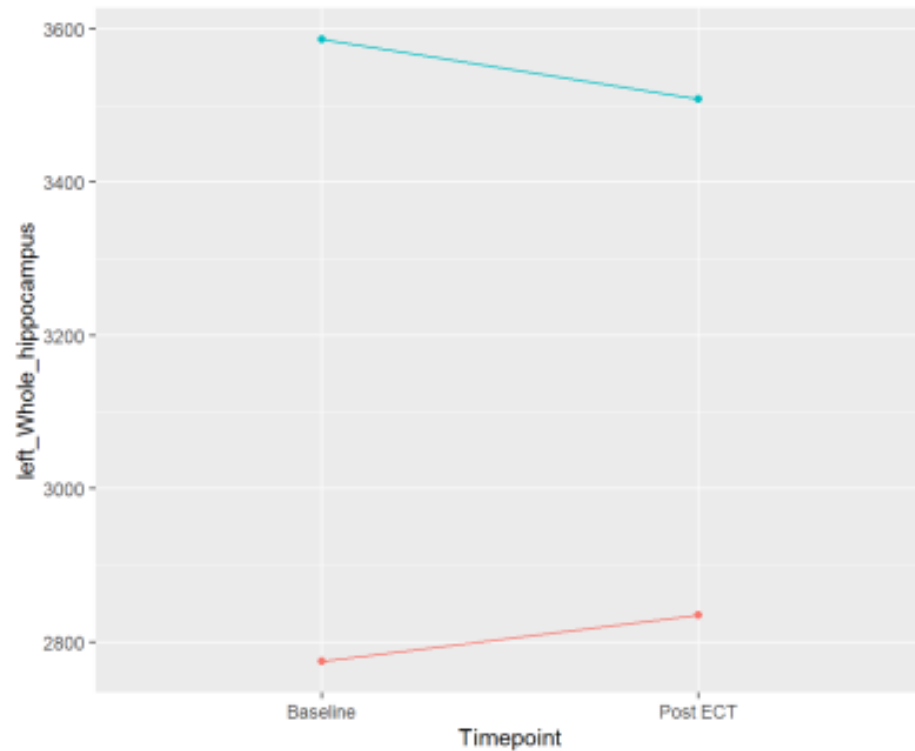
Mesotemporal area



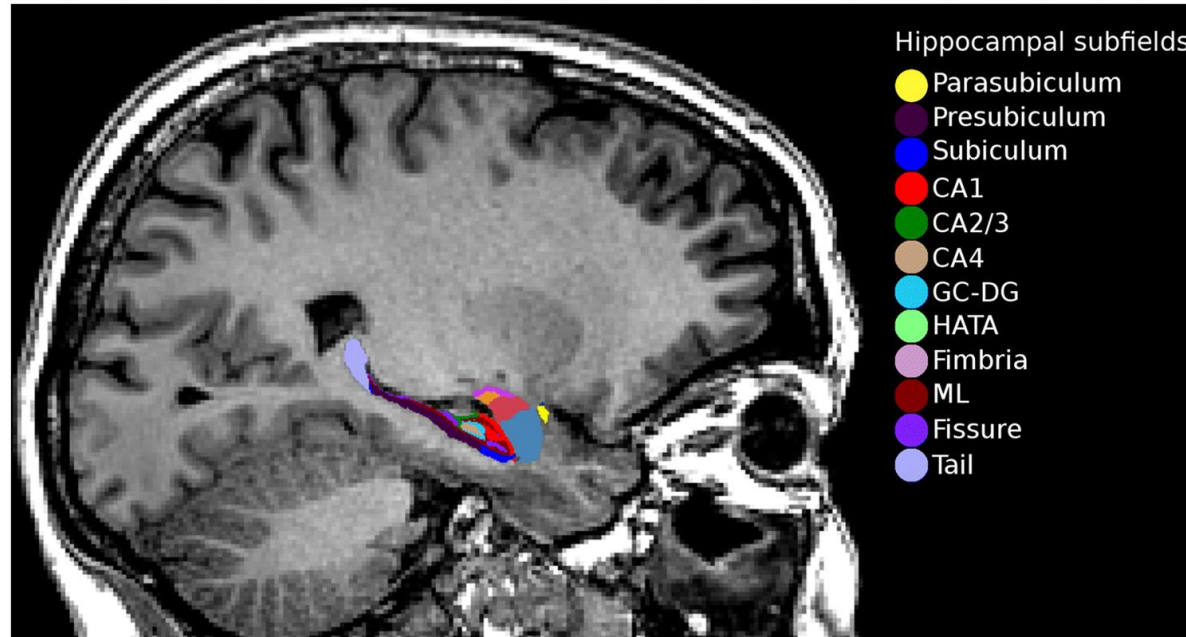
Hippocampus



Whole Hippocampus



Hippocampus

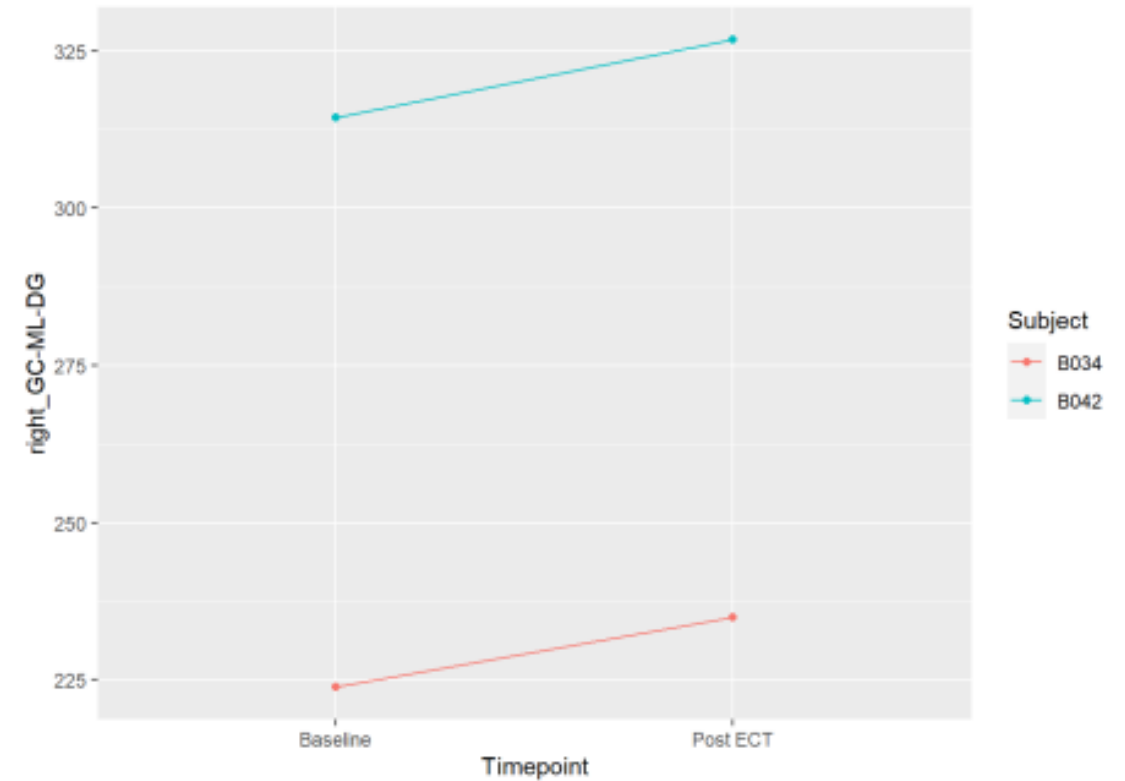
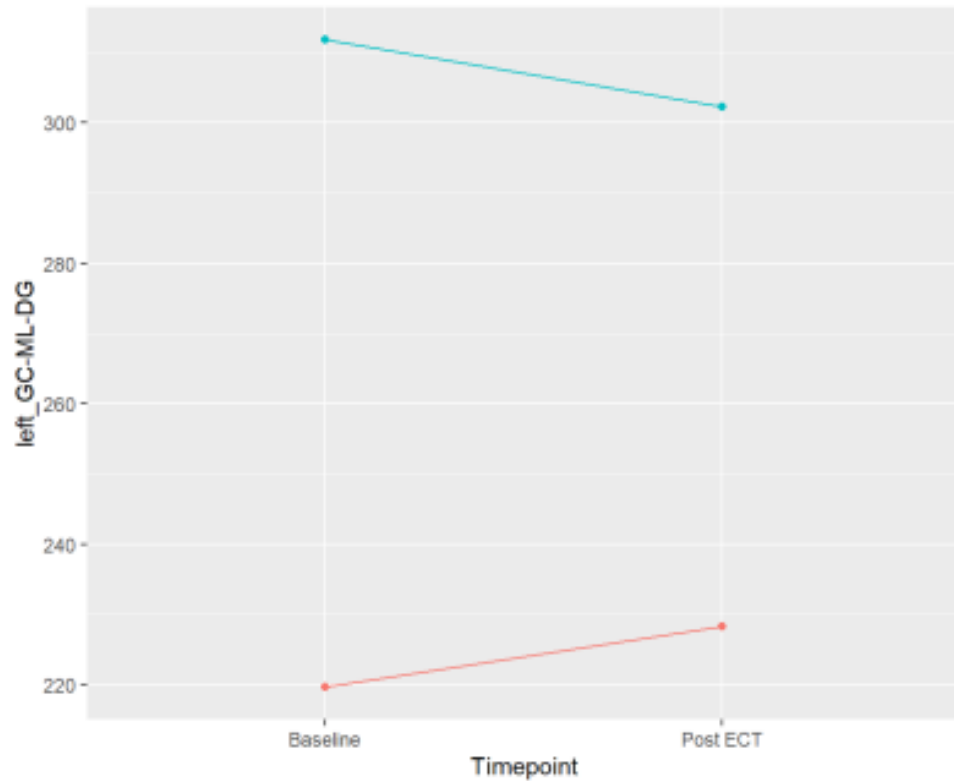


FreeSurfer

Hippocampus

RUL Stimulatie!

Dentate Gyrus



Blinded radiologist ratings

Feature	B034		B042	
	Baseline	Post-ECT	Baseline	Post-ECT
Global Cortical Atrophy – Ventricles	2	2	1	1
Global Cortical Atrophy – Frontal	1	1	1	1
Global Cortical Atrophy – parieto-oc	1	1	1	1
Global Cortical Atrophy – Temporal	2	2	0	0
Medial Temporal Lobe Atrophy	2/3	2/2	1/0	1/0
Hippocampal edema	No	No	No	No



Dr. Ahmed Radwan

Neuropsychologische veranderingen

- Mini-Mental State Examination
- Auditory verbal learning test (M/A)
- Raven's Coloured Progressive Matrices (EF)
- Trail Making Test (A)
- Stroop Task (EF)
- Boston Naming Test (M)
- Verbal fluency
- Digit span (M)

M: memory ; EF: Executive Functioning ; A: Attention



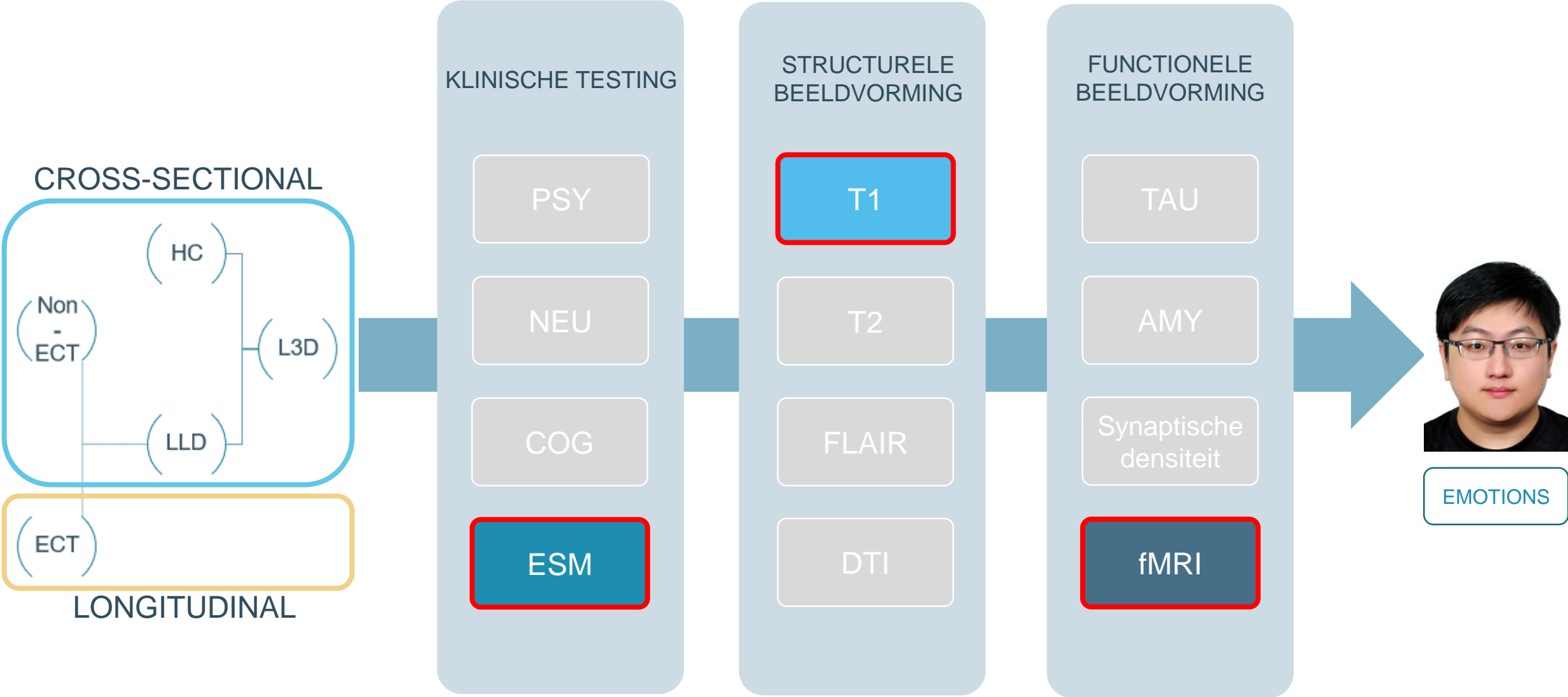
Boston Naming Test (M)
Raven's Coloured Progressive Matrices (EF)
Digit Span (M)
Stroop Task (EF)

Mini-Mental State Examination
Auditory Verbal Learning Test (M/A)
Trail Making Test (A)
Verbal Fluency

Besluit



Behavioral and neural correlates of the positivity effect in late-life depression



What's fMRI?

- functional Magnetic Resonance Image (fMRI)
- Blood-Oxygen-Level-Dependent (BOLD) signal
- Correlation, not Causation



Socioemotional Selectivity Theory (SST)

- When time horizon is perceived as limited, people tend to focus on things benefiting well-being (Carstensen et al., 1999).
- Elder adults tend to attend to positive stimuli and adopt emotion regulation strategies automatically when facing negative events (Mather, 2012).
- Increased engagement of emotion-regulation brain regions in elderly

ng
stimulus
stimulus

8s

fMRI

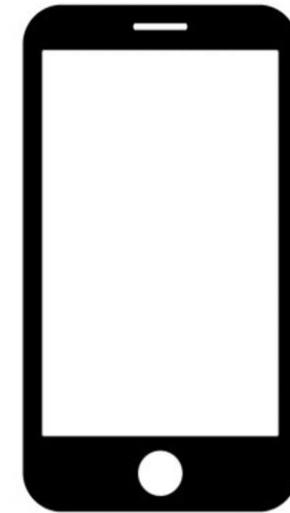
Chill Band+

- Skin Conductance
- Skin Temperature
- Acceleration (ACC)



Ecological Momentary Assessment (EMA)

- Past Stress
- Current Stress
- Social Stress
- Positive Affect
- Negative Affect
- Interoception



EMA questionnaire

Blok 1: Negatief affect

- Net voor het alarm voelde ik mij onzeker
- Net voor het alarm voelde ik mij angstig
- Net voor het alarm voelde ik mij neerslachtig
- Net voor het alarm voelde ik mij schuldig
- Net voor het alarm voelde ik mij eenzaam

Blok 2: Positief affect

- Net voor het alarm voelde ik mij opgewekt
- Net voor het alarm voelde ik mij ontspannen
- Net voor het alarm voelde ik mij tevreden

Blok 3: Stress:

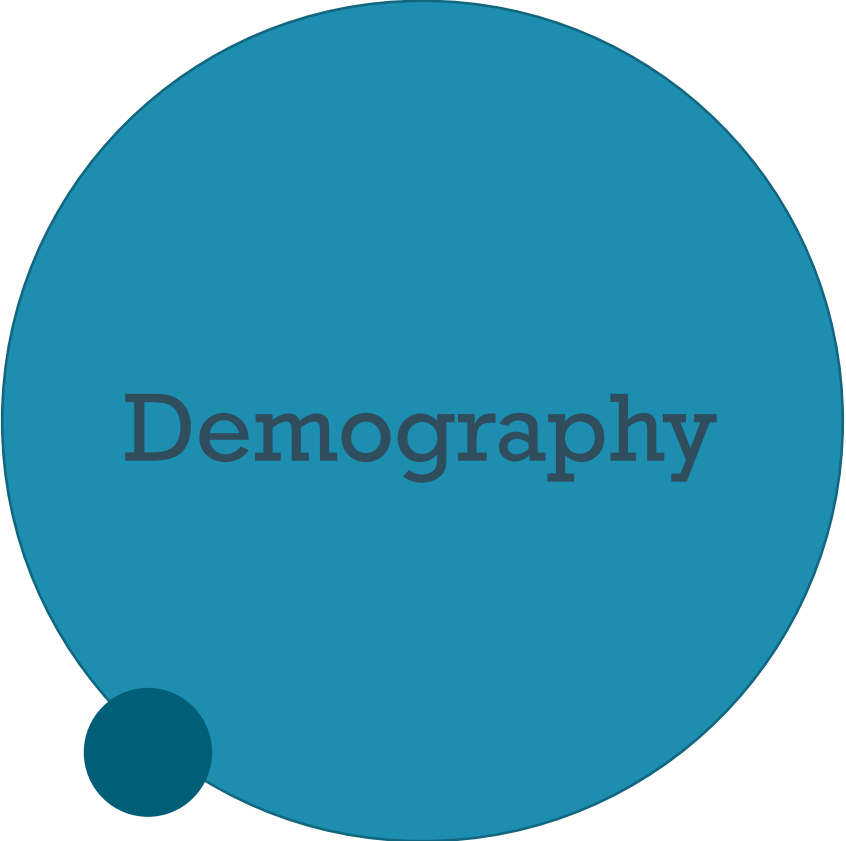
- Denk aan de belangrijkste gebeurtenis die is voorgevallen sinds de vorige rapportering. Hoe aangenaam was deze gebeurtenis?
- Hoeveel stress had u op het moment dat het alarm afging?

Blok 4: Sociale context

- Met wie ben ik op dit moment?
- Ik vind dit gezelschap aangenaam
- Ik zou liever alleen zijn op dit moment
- Ik vind het aangenaam om alleen te zijn op dit moment
- Ik zou liever in het gezelschap van anderen zijn op dit moment

Blok 5: Interoceptie

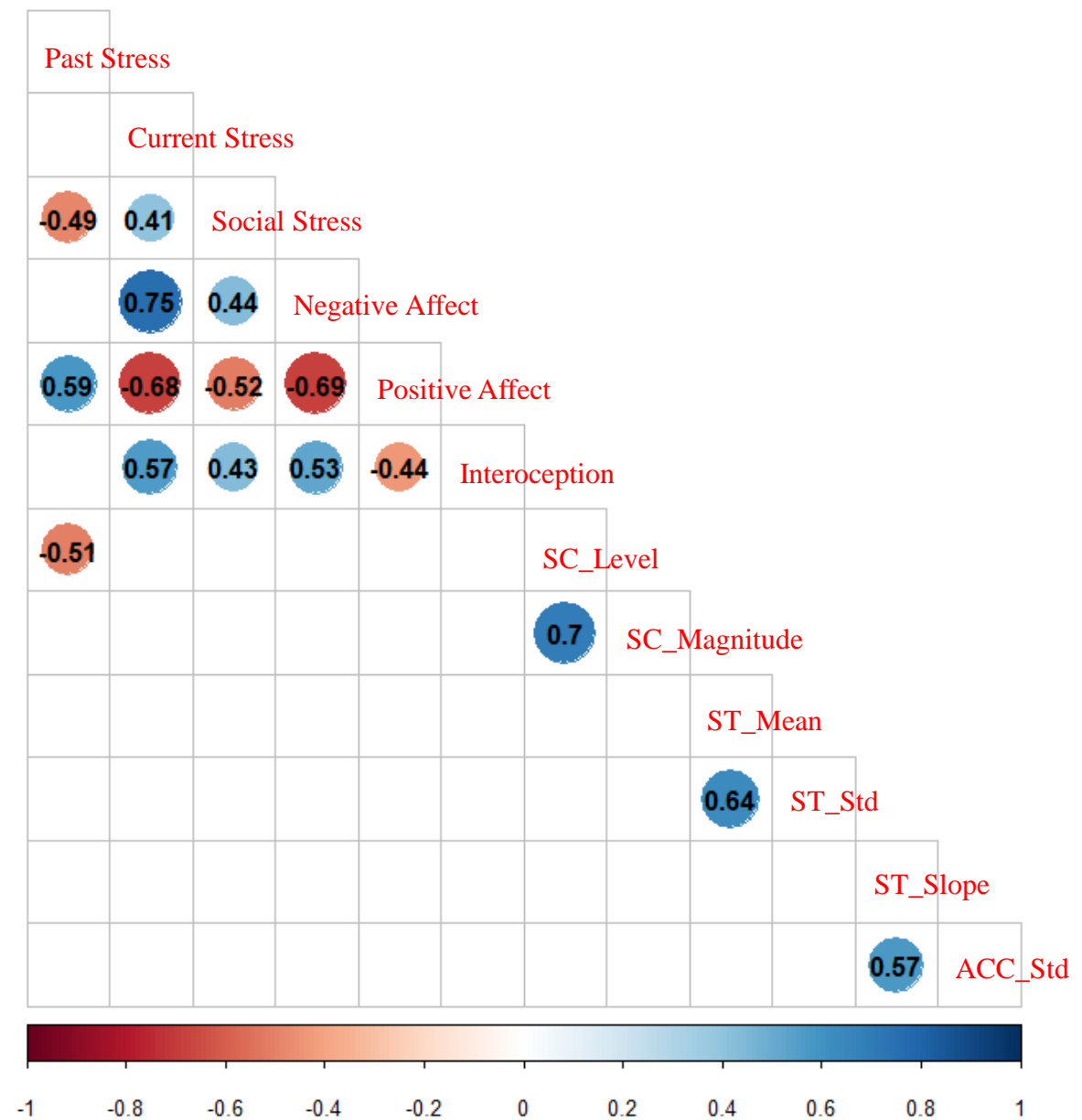
- Beschrijf op een schaal van 1 tot 10 hoe sterk u interne prikkels op dit eigenste moment ervaart



Demography

- 26 Healthy Control
 - 14 Female, 12 Male
 - Age: 60 – 88 (mean: 70.23; SD: 6.483)

Associations between EMA and ChillBand



SC: skin conductance; ST: skin temperature; ACC: accelerometer signal.

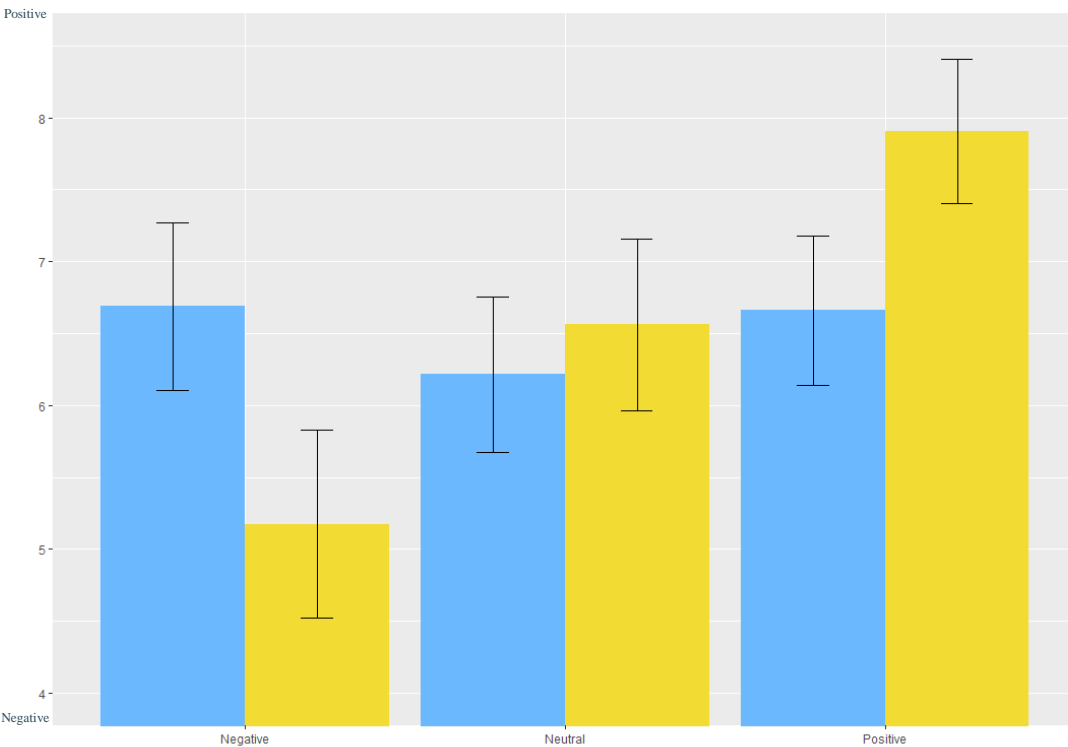
Mood Rating

17 subjects

- 11 female
- 6 male

Age: 62 – 88

- Mean: 71.53
- SD: 6.938



1: Negative

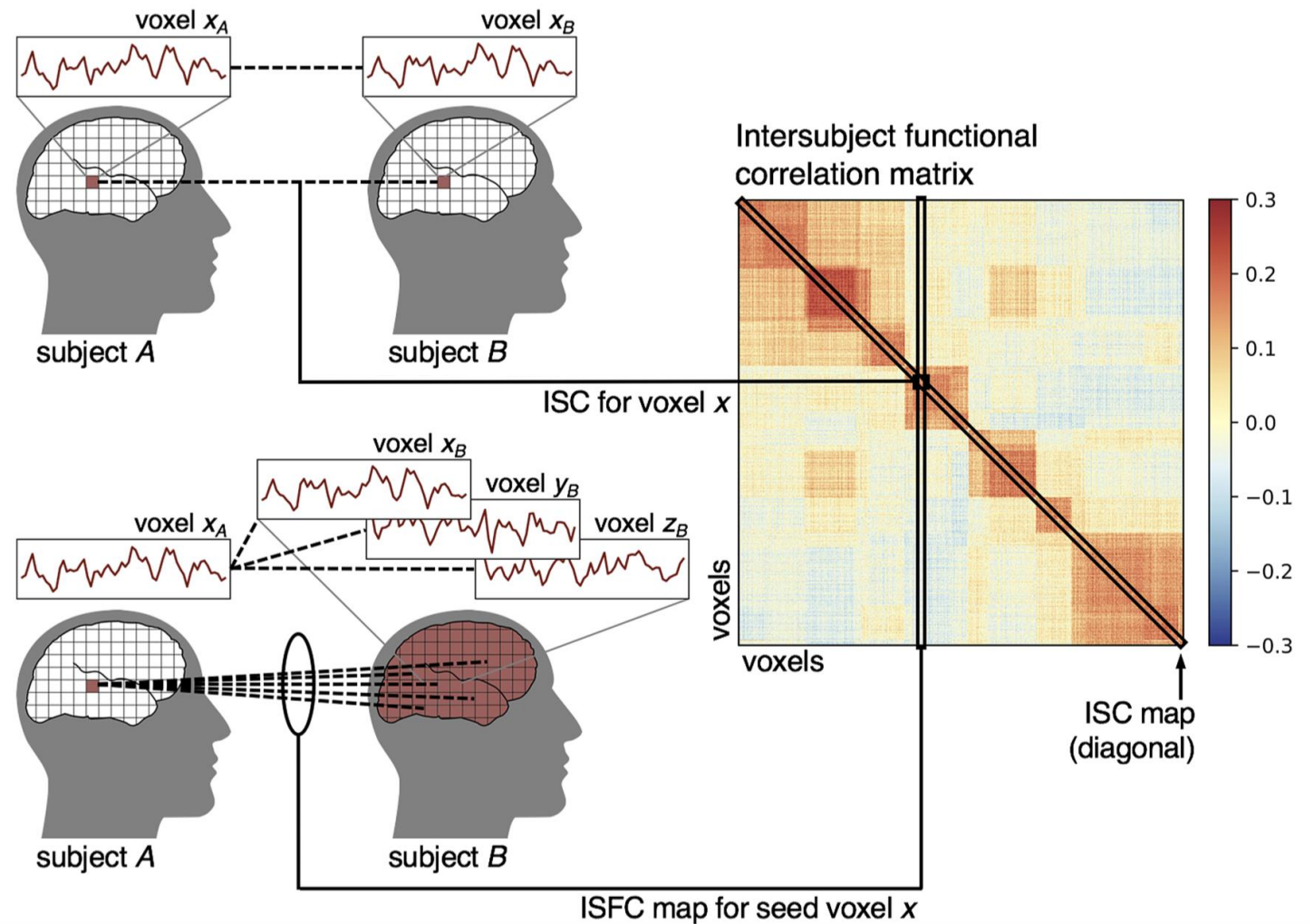
10: Positive

N = 17	Before	After	Difference	p value
Negative	6.686	5.174	-1.512	0.027 ^{a**}
Neutral	6.216	6.563	0.347	.573
Positive	6.661	7.904	1.243	0.009 ^{a**}

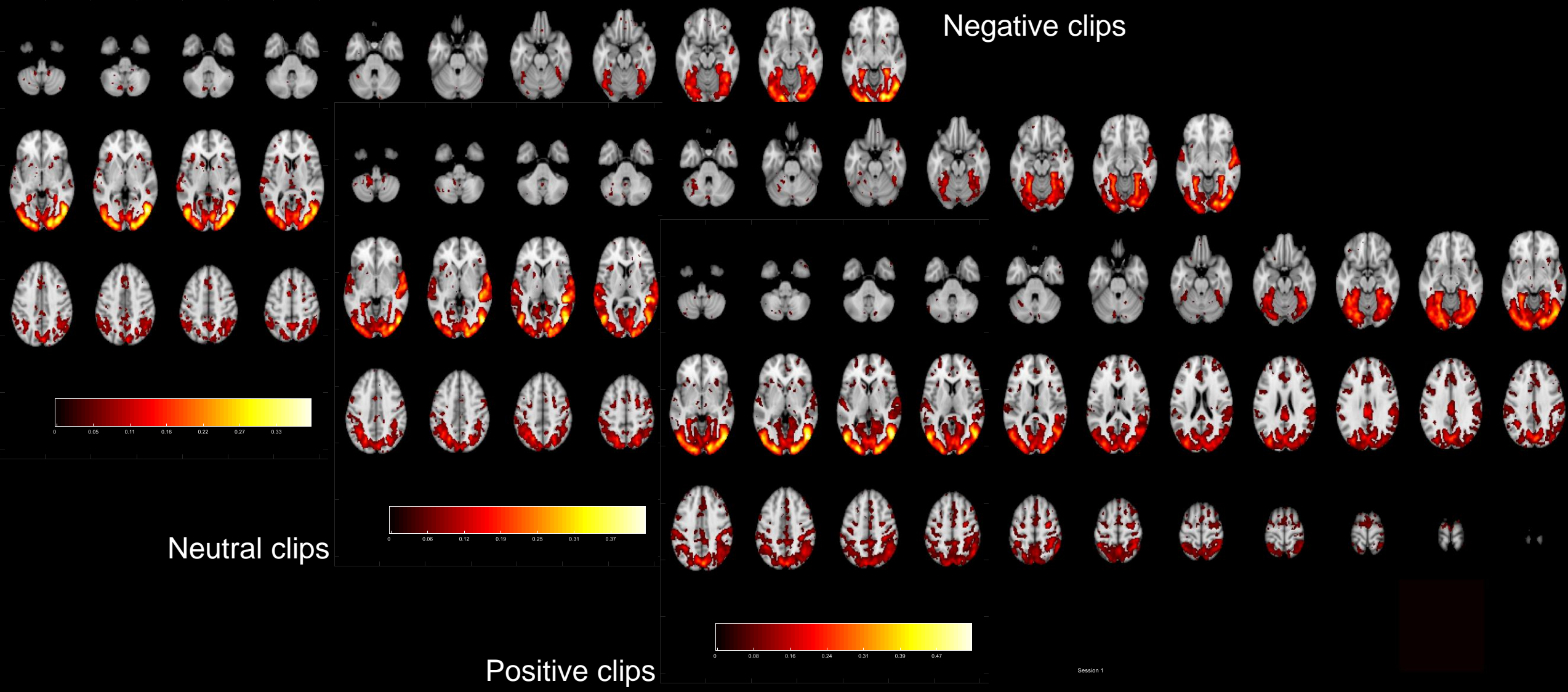
a: Wilcoxon Signed Ranks Test

Inter-Subject Correlation (ISC)

- Hasson et al. (2004)
- Complex and continuous situations
 - Social interaction
 - Narrative comprehension
 - Movie clips

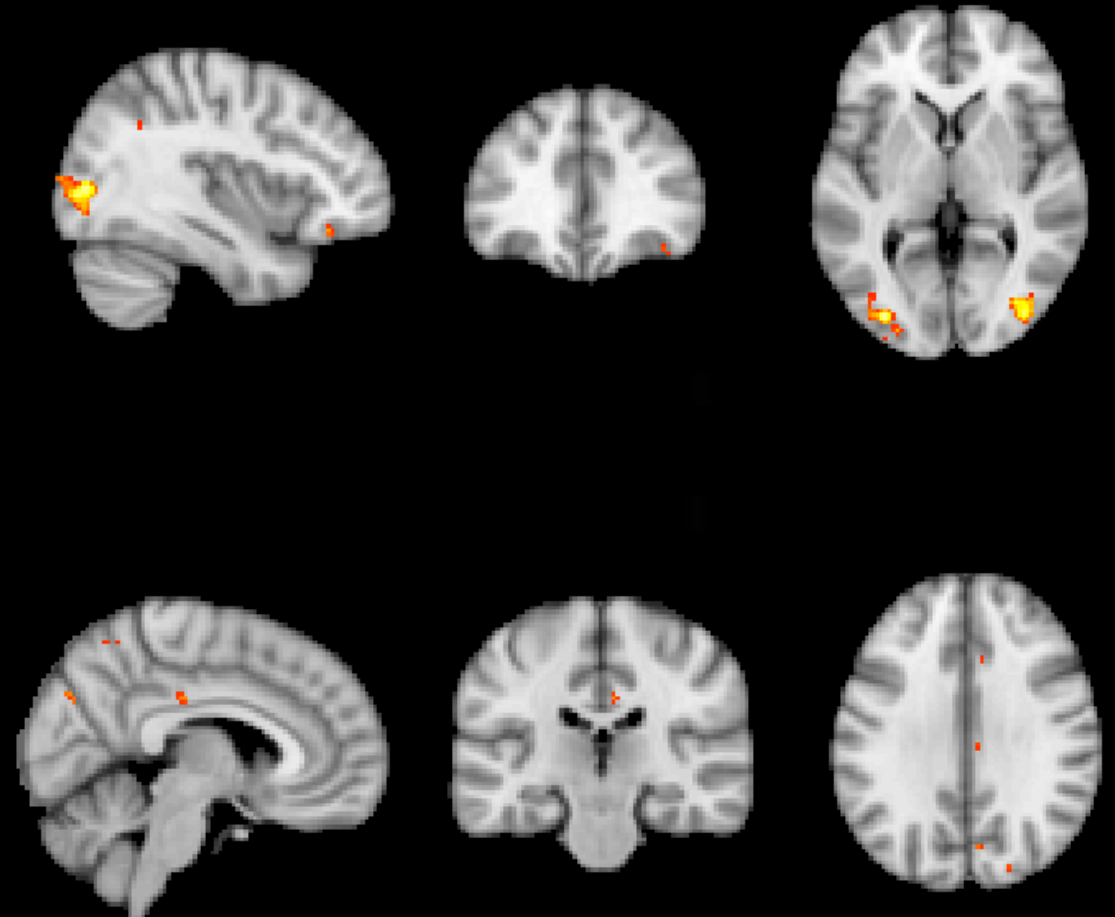


Nastase et al. (2019)



Negative > Neutral

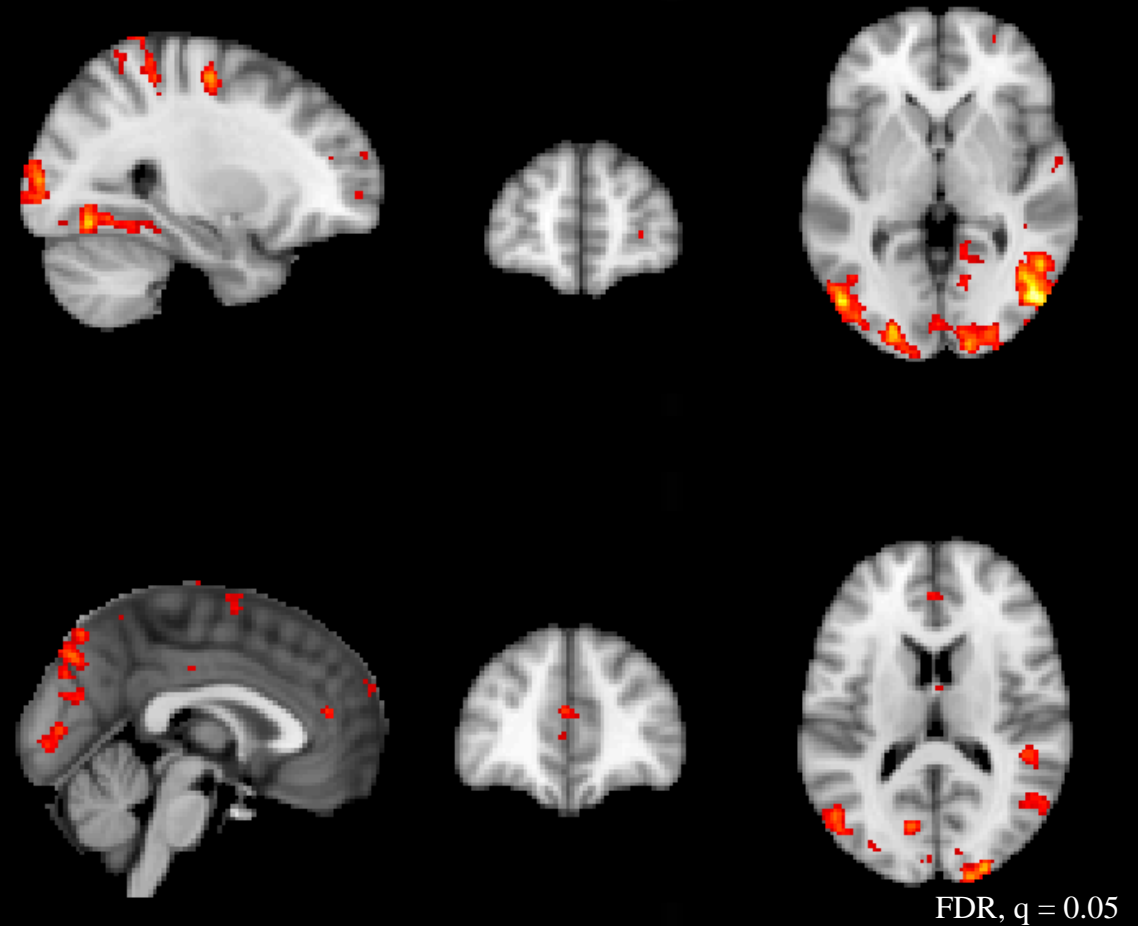
- The right Orbital Frontal Cortex
- The Posterior Cingulate Cortex (PCC)



FDR, $q = 0.05$

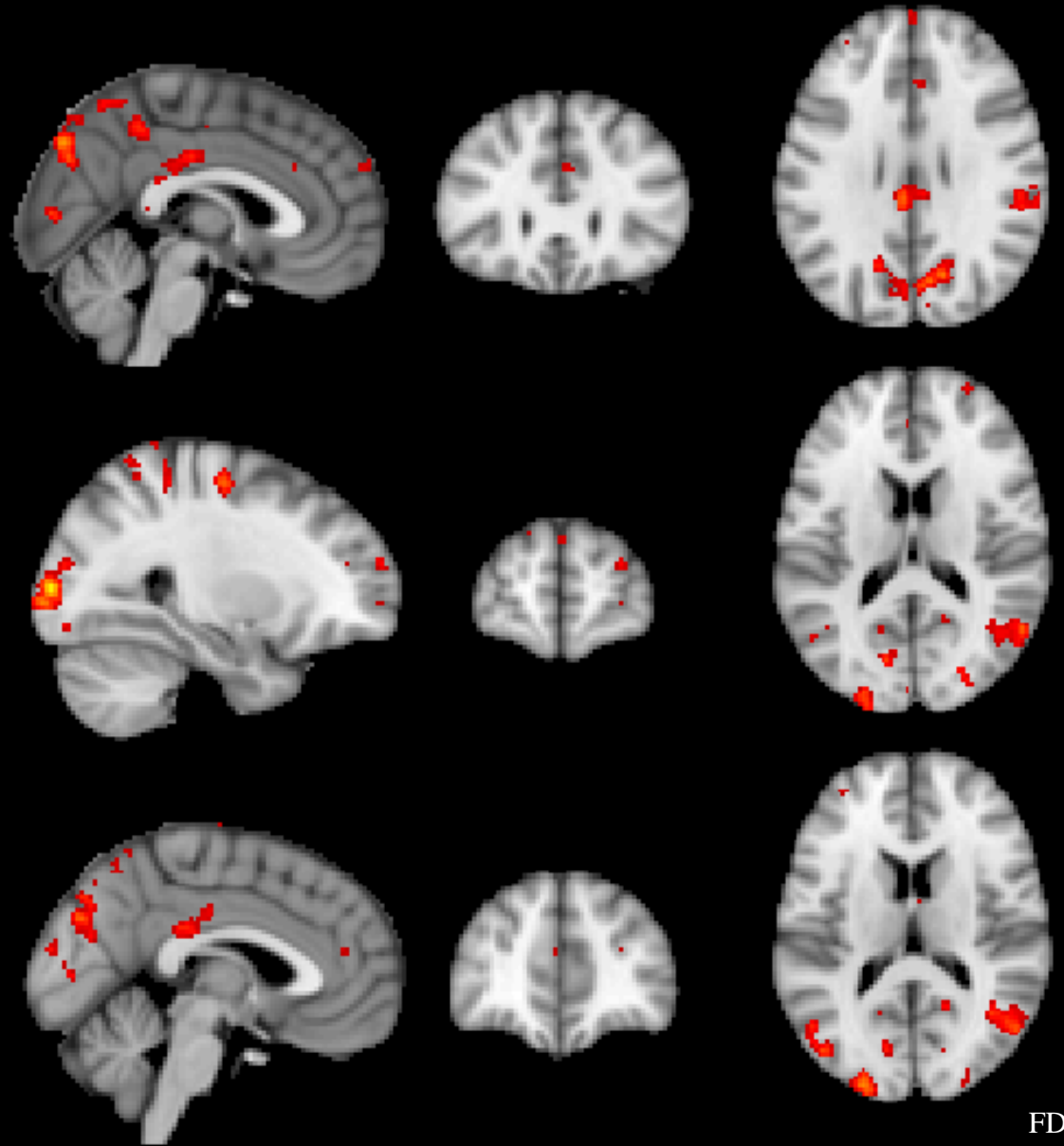
Positive > Negative

- The ACC, right dlPFC
- The right dmPFC, vmPFC

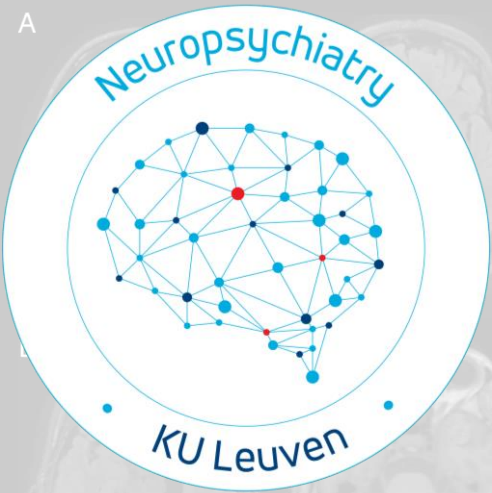


Positive > Neutral

- The right vmPFC
- The dmPFC, ACC, PCC



FDR, $q = 0.05$



LEUVEN BRAIN INSTITUTE

UPC
Z.ORG KU LEUVEN

Funders



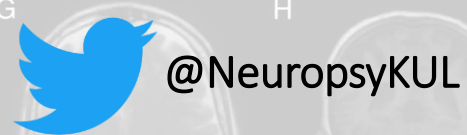
Sequoia Fund



The Lab

Mathieu Vandenbulcke
Filip Bouckaert
Jan Van den Stock
François-Laurent De Winter
Maarten Van Den Bossche
Chris Bervoets
Pascal Sienaert
Louise Emsell
Lies Van Assche

Daphne Stam
Jasmien Obbels
Maarten Laroy
Margot Van Cauwenberge
Simon Lambrichts
Thomas Vande Casteele
Chih-Hao Lien
Jiaze Sun
Doga Gundem
Liselotte Peeters
Yannick Timar
Laura Van den Bulcke



Collaborations

Translational MRI: *Stefan Sunaert & Ron Peeters*
Nuclear Medicine: *Koen Van Laere & Michel Koole*
Laboratory for Cognitive Neurology: *Rik Vandenberghe & Patrick Dupont*
TARGID: *Lukas Van Oudenhove*
Center for Contextual Psychiatry: *Inez Germeys*
VIB: *Philip Van Damme*
IMEC: *Chris Van Hoof, Walter De Raedt & Nick Van Helleputte*
Laboratory for Biological Psychology: *Hans Op de Beeck*
Declarative Languages and Artificial Intelligence: *Joost Vennekens*

McGill University, Canada: *Mallar Chakravarty*
University of Sydney, Australia: *Fiona Kumfor*
Maastricht University, The Netherlands: *Beatrice De Gelder*
Keio University, Japan: *Akihiro Takamiya*

ResPECT (Research in Psychiatry and ECT Consortium)
GEMRIC (The Global ECT-MRI Research Collaboration)
NIC-FTD (Neuropsychiatric International Consortium FTD)
The Human Affectome Project

Support & Technical Staff

Eva Pilato	Kwinten Porters
Jef Van Loock	Kristof Vansteelandt
Martien Wampers	Martine Van Nierop
Karolien Dekeyser	Medisch Centrum UPC Kortenberg